

ORIGINI

*PREISTORIA E PROTOSTORIA
DELLE CIVILTÀ ANTICHE*

Direttore:

SALVATORE M. PUGLISI



ROMA 1975

UNIVERSITÀ DEGLI STUDI DI ROMA
ISTITUTO DI PALETOLOGIA - MUSEO DELLE ORIGINI

Comitato di Redazione: Editta Castaldi, Alessandra Manfredini, Fabrizio Mori, Alba Palmieri. *Direzione e Segreteria:* Istituto di Paletnologia, Facoltà di Lettere, Città Universitaria, Roma. *Collaborazione redazionale:* tutto il personale scientifico e tecnico dell'Istituto di Paletnologia. *Direttore responsabile:* Salvatore M. Puglisi.

I manoscritti e le pubblicazioni per cambio dovranno essere inviati alla Direzione. Per gli acquisti e gli abbonamenti rivolgersi alla C. E. Fratelli Palombi, via dei Gracchi 183, 00192 Roma, tell. 350.606 e 354.960, utilizzando anche il c/c Postale n. 31825003.

S O M M A R I O

MICHEL LIVACHE - ALBERT CARRY:

- LE GISEMENT DE LA FONT POURQUIÈRE (LACOSTE,
VAUCLUSE) 7

MARCELLA FRANGIPANE:

- CONSIDERAZIONI SUGLI ASPETTI CULTURALI
NEOLITICI A CERAMICA TRICROMICA DELL'ITALIA
MERIDIONALE 63

RECENTI RICERCHE NELLE NECROPOLI
ENEOLITICHE DELLA CONCA D'ORO:

SELENE M. CASSANO - ALESSANDRA MANFREDINI:

- SCAVI NELLA NECROPOLI DI UDITORE E
PROSPETTIVE DI INQUADRAMENTO CRONOLOGICO
DELLE PIÙ ANTICHE FACIES DELLA CONCA D'ORO 153

FLAMINIA QUOJANI:

- INDAGINI NELLA NECROPOLI DI CAPACI. NUOVI ASPETTI
LOCALI E LORO CONNESSIONI CON LA CULTURA
DELLA CONCA D'ORO 225

Con contributo di: MARIA SERGI, *Esame dei resti ossei provenienti dalla necropoli di Uditore (Palermo)*

RECENSIONI a cura di:

- M. ARIOTTI, F. F. BERNARDINI, A. BIETTI, M. CASINI, G. CASSIANO,
A. CAZZELLA, F. GIACINTI, M. MOSCOLONI, A. ZARATTINI 273

LE GISEMENT DE LA FONT POURQUIERE (COMMUNE DE LACOSTE - VAUCLUSE) ET LE TARDIGRAVETTIEN ANCIEN *

*Michel LIVACHE - Cabrières d'Avignon
Albert CARRY - Cavaillon*

Des labours profonds destinés à déchausser une vieille vigne permirent de soupçonner l'existence d'un gisement préhistorique au lieu-dit La Font Pourquière à la limite des communes de Lacoste et de Goult en Vaucluse. Finn Hauptmann découvrit les premiers silex (fig. 1 à 5), A. Carry devait les présenter à M. Sylvain Gagnière, directeur de la 17^e Circonscription des Antiquités Préhistoriques. Il en évalua l'importance et ordonna une fouille de sauvetage pendant l'intersaison viticole. M. Georges Laplace, présent en Vaucluse lors de la découverte, devait assurer la direction scientifique de nos travaux. Les analyses sédimentologiques furent confiés au Pr. Facon de l'Institut de Géographie de l'Université de Poitiers.

A - SITUATION

Carte au 1/20 000^o, Cavaillon n° 3, x=834,7 et y=175. La vigne d'environ 3 ha appartient à M. Jean Gabriel qui nous autorisa aimablement à fouiller son champ. Comme l'indique la coupe géologique (fig. 6), La Font Pourquière est située sur le flanc Nord d'un petit anticlinal à noyau Ludien (sables marins). Les zones les plus élevées sont composées par des calcaires à plaquettes du Stampien (g2a de la carte géologique Cavaillon au 1/50 000^o), et enfin par un plateau de molasse zoogène du Burdigalien (m1 de la carte).

B - METHODE DE FOUILLE

Nous avons ouvert une tranchée de 7 m² entre deux rangées de vigne. Lorsque la couche archéologique fut atteinte nous l'avons fouillée en situant les objets dans des volumes de 33 cm×33 cm×5 cm

(demi-taille) (Laplace 1971); ceci afin de repérer avec une approximation satisfaisante les silex récupérés au tamisage fin.

C - STRATIGRAPHIE (fig. 7)

Sous la couche brune remaniée par les labours: CL, nous n'avons décelé qu'un niveau archéologique. Ce niveau dans les carrés —3, —2, 1, 2, 3 et la moitié du 4 est séparé du labour par une couche sableuse stérile brun clair: CBC. Dans la seconde moitié du carré 4 et dans le carré 5 le sommet de la couche archéologique a été labouré. D'après la couleur du sédiment, la couche à silex est nommée: couche brune à silex (CBS) pour les demi-tailles supérieures et couche orange gris (COG) pour les demi-tailles inférieures. L'épaisseur de la couche à silex varie de 5 cm dans le carré —2 à 27 cm dans le carré 3. La présence de blocs de grès et de calcaires silicieux semble due au colluvionnement. Enfin notre sondage s'est arrêté à la couche sableuse brun jaune: CBJ, elle est stérile. Le rapport du Pr. Façon montre l'homogénéité granulométrique des couches du site. Elle sont composées de sables marins tertiaires remaniés par le vent, sans qu'on puisse affirmer que ce remaniement soit contemporain de l'occupation humaine. Un colluvionnement est marqué par la présence des blocs déjà signalés.

D - ANALYSE DE L'OUTILLAGE LITHIQUE

L'outillage lithique est le seul à avoir été conservé. Nous employons pour son étude la Typologie Analytique proposée par Georges Laplace (Laplace 1957, 1964, 1968, 1972, 1974), suivant le système de 1964. Sigles analytiques employés:

— Critères de la retouche.

Mode. abrupt = A, simple = S, plat = P, burin = B, écaillé = E, surélevé = SE.

Amplitude. extramarginale = mm, marginale = m, profonde = très profonde = pp.

Direction. directe = d, inverse = i, alternate = a, biface = bif.

Délinéation. continue = c, encochée = e, denticulée = dent.

Orientation. latérale = lat, transversale = trv, bilatérale = bil.

Localisation. proximale = prox, médiale = med, distale = dist, bipolaire = bip, senestre = sen, dextre = dex.

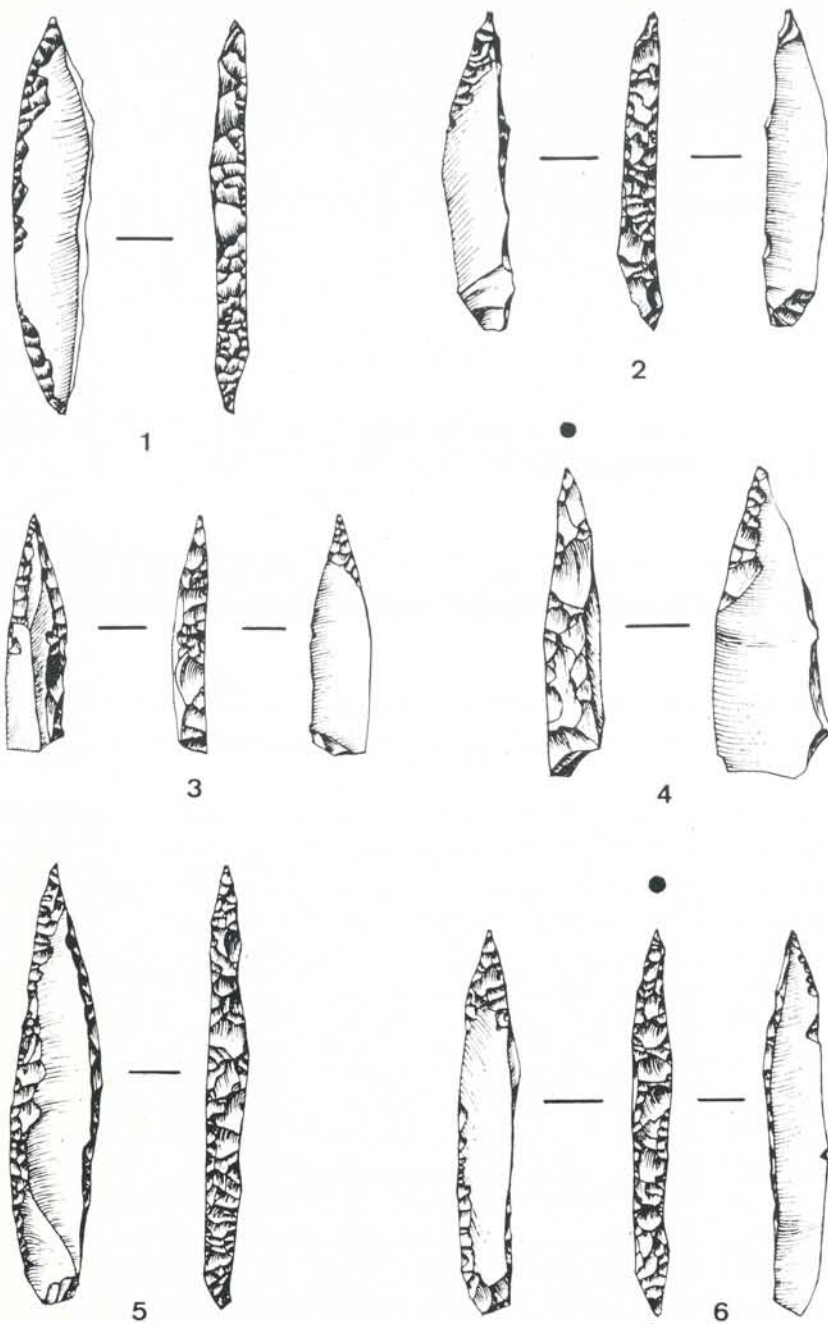


Fig. 1 - Pointes à dos.

Forme. rectiligne = rect, convexe = conv, concave = conc, sinueuse = sin, frontale = front, ogivale = ogv, museau = mus, polygonale = polyg.

Autres sigles. normale = norm, mixte = mixt, oblique = obl, partielle = part, cassure = cas.

— Signes analytiques:

- continuité sur un même bord
- = surimposition
- . opposition
- + discontinuité latérotransversale
- 0 tendance
- " " caractères morphotechniques
- / complémentarité
- — discontinuité sur un même bord

Burins: 22.

36.14.4	B1	[B trv prox dex] type Corbiac
44.27.23	B1.B3	[B pris dist dex]. [B polyg prox dex]
28.15.9	B1	[B plan prox dex] cas dist
54.30.14	B1	[B rect norm dist sen]
49.36.12	B1	[B rect norm trv prox sen]
76.24.16	B2djt.B5	[B sigm norm dist]. [B plan rect prox — Apd trv norm] / Smd sen
45.37.20	B3	[B rect norm (plan) dist sen] / Smd dist sen
48.43.12	B4	[B plan i rect dist dex] / smd trx dex
28.25.6	B4.Bc1	[B rect norm dist sen] / Smd dex. Bc1 [Amd conc trv sen + Amd] / Smd sen
52.13.3	B4	[B rect norm dist sen]
55.20.4	B4	[B rect norm dist dex]
35.12.3	B4	[B rect norm prox dex]
30.17.5	B4	[B rect norm dist dex]
18.11.4	B4	[B rect plan dist sen]
19.13.4	B4	[B rect norm dist dex]
18.15.5	B4	[B rect plan dist dex]
17.12.3	B4	[B rect norm dist sen]
8.6.1	B4	[B rect norm dist dex]
61.31.25	B5(B3)	[B polyg mixt dist dex + Apd conc trv obl sen]
66.22.5	B5	[B rect norm prox sen + Apd trv obl dex]

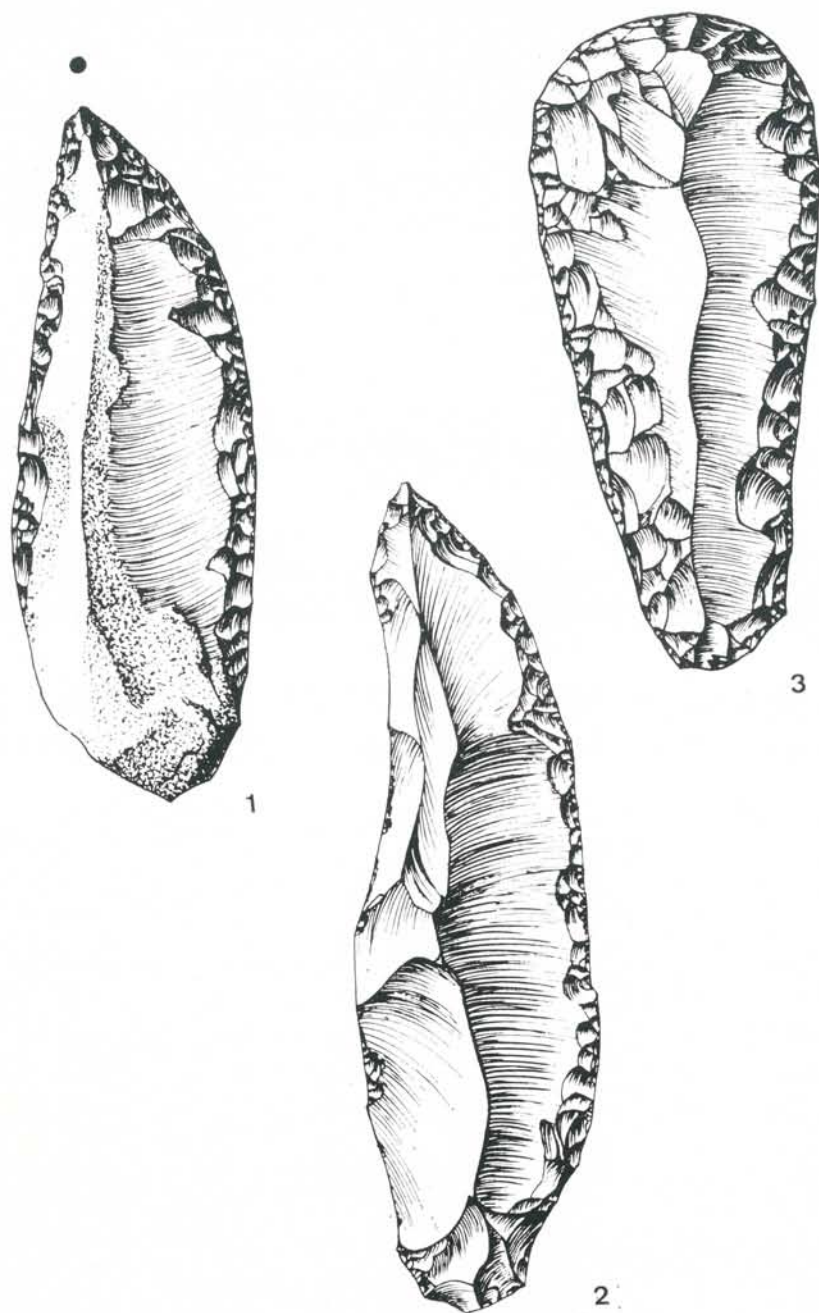


Fig. 2 - Pointes (1 et 2); grattoir double à retouche latérale (3).

Grattoirs: 4.

40.13.7	G1	[Spd front dist] cas prox
52.29.9	G1	[Spd front dist] —/ Spd angulaire (mus) dex
76.27.12	G1	[Smd front angulaire dex]
58.22.10	G2	[Spd lam front dist + Spd med-dist rect sen]

Troncatures: 25.

69.34.12	T1	[Amd trv rect part dist]
24.9.4	T1	[A(S)md trv obl dist]
21.10.5	T1	[Amd trv norm dist]
33.27.11	T1	[Amd trv norm prox sur charnière] cas dist
36.17.7	T2	[Apd trv norm prox] cas dist
20.7.2	T2	[Apd trv norm dist]
29.13.5	T2	[Apd trv norm dist]
40.14.4	T2	[Apd trv part norm dist]
16.6.2	T2	[Apd trv norm dist]
12.5.2	T2	[Apd trv norm dist] cas prox
10.6.2	T2	[Apd trv conc norm dist]
22.11.2	T2	[Apd trv part norm dist]
7.7.2	T2	[Apd trv part norm dist]
17.9.3	T2	[Apd trv dist]
38.28.8	T2	[Apd trv norm prox] +/ Smd dex cas dist
58.41.8	T3	[Apd trv part obl dist]
13.8.2	T3	[Apd trv obl anglé sen] cas prox
13.11.3	T3	[Apd trv obl sen dist]
15.11.3	T3	[Apd trv obl sen dist] cas prox
18.11.3	T3	[Apd trv obl sen dist]
27.15.4	T3	[Apd trv obl dex dist] +/ Amd dex cas prox
9.11.3	T3	[Apd trv obl dex dist]
30.13.4	T3	[Apd trv obl sen] cas prox
21.13.6	T3	[Apd trv obl dex dist]
19.17.2	T3	[Apd trv conc obl dist]

Becs: 12.

48.26.6	Bc1	[T3 part conc prox — eSpd med sen + Spi dex]
32.48.10	Bc1	[T1 i dist + Ami] / And prox
47.31.10	Bc1	[T3 dist dex + eSpi] / dentSmi — — eSpi. Smd dist
43.25.9	Bc1	[T3 conc sen + (dent)Spd. eSpd dist]

22.25.5	Bc1	[T3 conc sen + Apd conc]
32.54.7	Bc1	[T3(PD2) angulaire conc + Ami sen dist]
35.23.7	Bc1	[T3 prox sin dex + dentSmd]
64.49.14	Bc1	[T3 prox part sen + eSpd sen]
37.26.4	Bc1	[T2 conc + Ammd sen]
62.20.11	Bc1	[T3 conc part dex + Spd dex]
39.24.4	Bc1	[T1 part sen + eAmd]

Pointes à Dos: 21.

68.27.4	PD1	[Amd alt dist sen. Amd med—dist]
70.17.4	PD1	[Amd dist dex] ./ Smi med sen
30.10.2	PD1	[Ammd conc sen]
60.23.6	PD2	[Apd rect dex] ./ Smd dist
60.12.6	PD2	[Apd rect prox dex] cas dist
23.9.3	PD2	[Api conv prox sen] cas dist
50.9.4	PD4	[Ap bif rect sen] ./ Spd pointe — — Spd base=Pi bil
30.12.4	PD4	[Ap bif rect dex] /= Ppi base cas dist
25.9.4	PD4	[Ap bif prox rect dex] ./ Spd = Pi base cas dist
20.7.4	PD4	[Ap bif prox rect sen] ./ Smd = Pi base cas dist
25.10.4	PD4	[Ap bif prox rect dex] ./ Apd med — — Pmi prox cas
23.9.6	PD4	[Ap bif prox rect dex] ./ Ppi base cas dist
15.9.4	PD4	[Ap bif prox rect sen] ./ Pmi base cas dist
42.12.6	PD4	[Ap bif prox rect dex] ./ Spd base cas dist
18.6.3	PD4	[Apd rect dist sen] ./ S(A) md dex cas prox
8.6.4	PD4(LD2)	[Ap bif rect]
30.9.7	PD4	[Apd rect dist sen] avivage
13.5.3.	PD4(LD2)	[Ap bif rect]
27.9.5	PD4	[Apd rect sen prox] ./ Smd — Ppi base cas dist
26.10.5	PD4	[Ap bif rect prox sen] ./ Ppi base cas dist
31.9.3	PD4	[Ap bif rect dex] ./ Pmi trv prox

Lames à dos: 44.

71.25.6	LD1	[Amd dex prox]
51.16.3	LD1	[Ami prox—ed sen] ./ Smmd dex
36.12.4	LD1	[Amd sen] cas prox
14.4.2	LD1	[Amd dex] cas prox
22.11.3	LD1	[Amd dex] cas bip
9.6.2.	LD1	[Ami sen] cas bip

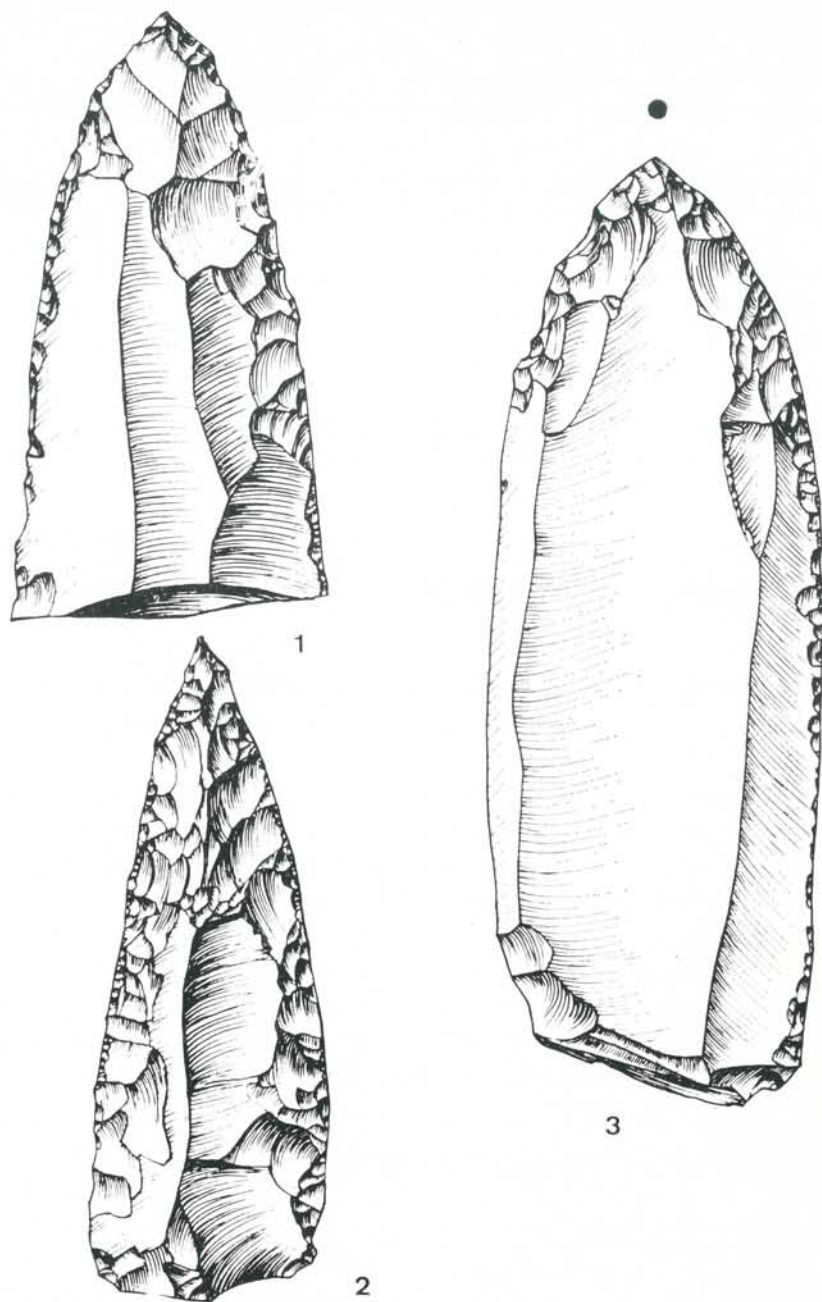


Fig. 3 - Pointes à retouche plate.

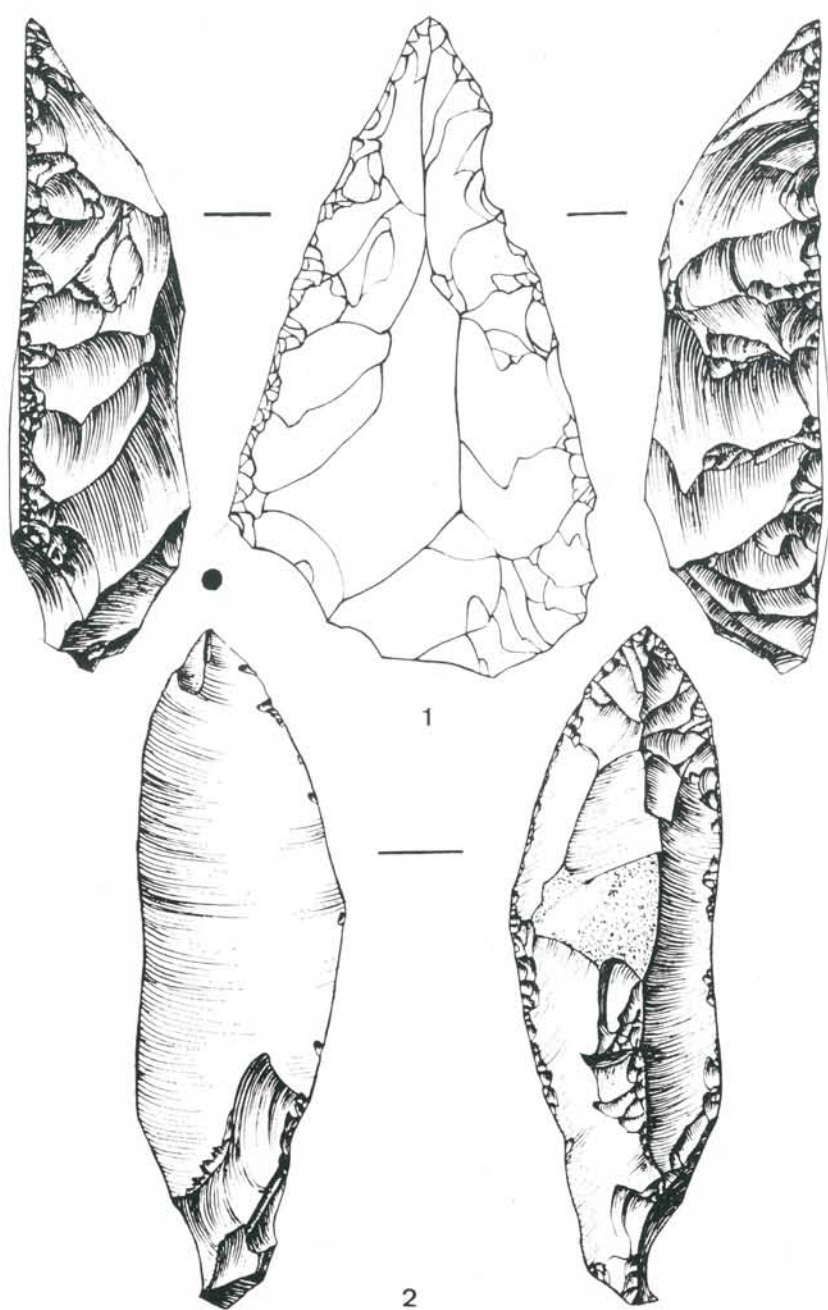


Fig 4 - Pointes à retouche plate.

10.5.2	LD1	[Amd dex] cas bip
29.13.3	LD1	[Ami conc sen dist — — Amd prox dex] cas dist
60.27.8	LD1	[Ami med dex. Ammd dist] cas prox
60.27.8	LD1	[Ami med dex]. Ammd dist] cas prox
36.17.2	LD1	[Amd prox dex] cas prox
30.17.4	LD1	[Amd prox dex] cas bip
13.12.3	LD1	[Ami dex] cas prox
35.15.4	LD1	[Ami sen dist — Amd med] ./ dentSmd prox cas dist
15.8.5	LD1	[Amd dex]
21.11.2	LD1	[Amd anglé sen] cas prox
25.4.2	LD1	[Ami med-prox sen]
17.7.3	LD1	[Amd med dex] cas prox
16.4.3	LD2./D2	[Apd sen] ./ dentSp mixte
48.9.6	LD2	[Apd sen] ./ Ppi base
29.14.5	LD2	[Apd dex] cas dist
27.12.4	LD2	[Apd med sen] cas dist
20.7.3	LD2	[Apd sen] cas dist
27.8.4	LD2	[Apd dex]
25.10.5	LD2	[Apd] cas bip
22.10.4	LD2	[Apd] cas bip
19.6.4	LD2	[Apd dex] ./ Smmd med cas dist
16.5.3	LD2	[Apd dex] cas bip
15.7.4	LD2	[Apd sen] cas dist
23.14.3	LD2	[Ap mixte dex] cas prox
14.6.3	LD2	[Apd sen] ./ Smd cas prox
14.7.3	LD2	[Apd dex] cas bip
11.6.3	LD2	[Ap bif sen] cas bip
21.11.3	LD2	[Apd dex] ./ Smd cas bip
19.7.4	LD2	[Ap bif] cas bip
8.4.2	LD2	[Apd] cas bip
14.7.4	LD2	[Apd dex] cas bip
12.6.4	LD2	[Apd] cas bip
13.7.4	LD2	[Apd dex] cas bip
10.7.2	LD2	[Ap bif dex] ./ Amd cas bip
9.5.3.	LD2	[Apd] cas bip
11.9.3	LD2	[Apd] cas bip
6.3.2	LD2	[Apd sen] cas bip
21.7.4	LD3	[Apd conc sen] cas dist
20.10.2	LD3	[Apd conc dex]

Dos et Troncatures: 71.

8.4.3	92°	DT1	[LD2 rect bil + T2 dist rect] cas prox
7.4.3	97°	DT1	[LD2 rect bex + T2 dist rect] cas prox
12.5.3	95°	DT1	[LD2 rect sen + T2 dist anglé] cas prox
14.5.3	90°	DT1	[LD1 rect sen + T2 dist rect] ./ Smd=Pi dist
15.6.4	90°	DT1	[LD1 rect dex + T2 som dist rect] i/ Sm alt
21.5.3	92°	DT1	[LD2 rect dex + T2 som dist rect] cas dist
16.5.2	91°	DT1	[LD2 rect dex + T2 dist rect] cas prox
8.4.3	90°	DT1	[LD2 rect dex + T2 dist conv] cas prox
20.5.3	90°	DT1	[LD2 bif rect dex+ T2 dist rect] ./ Smd cas prox
20.4.2	90°	DT1	[LD1 rect dex + T2 prox rect] cas dixt
13.7.4	90°	DT1	[LD2 conc dex + T2 dist conv part anglé] cas prox
16.5.3	60°	DT1	[LD2 conc dex + T3 dist rect fermée] cas prox
9.6.2	57°	DT1	[LD2 rect dex + T3 prox rect fermée] cas dist
13.5.2	98°	DT3	[LD2 rect sen + T3 dist rect] cas prox
27.9.7	100°	DT3	[LD2 bif rect sen + T3 prox rect] ./ Pmi med — Spd prox
24.7.4.	96°	DT3	[LD2 rect dex + T3 prox conc] ./ Pm som base cas dist
11.5.3	98°	DT3	[LD2 rect dex + T3 prox rect] cas dist
11.6.3	102°	DT3	[LD2 bif rect dex + T3 prox rect] ./ eSmd cas dist
11.7.3	104°	DT3	[LD2 rect dex + T3 dist conc part] cas prox
12.7.3	118°	DT3	[LD2 bif rect dex + T3 dist conv angu- laire] cas dist
13.6.2	100°	DT3	[LD2 rect dex + T3 dist rect] ./ Sm alt cas prox
20.9.2	112°	DT3	[LD2 anglé sen + T2 dist rect] cas prox
9.4.3	107°	DT3	[LD2 rect sen + T3 prox rect] cas dist
13.5.2	109°	DT3	[LD2 rect dex + T3 dist rect] cas prox
14.8.2	104°	DT3	[LD2 rect sen + T3 dist rect]
11.6.2	107°	DT3	[LD2 rect dex + T3 prox rect] ./ dentSmd cas dist

14.8.4	106°	DT3	[LD2 rect sen + T3 dist rect] ./ Smd dist
17.5.4	104°	DT3	[LD2 bif rect dex + T3 dist rect]
16.8.3	106°	DT3	[LD2 conc dex + T3 prox rect] i/ Smd cas dist
16.5.3	104°	DT3	[LD2 rect sen + T3 dist rect] cas prox
15.6.3	110°	DT3	[LD2 bif rect sen + T3 dist rect] ./ Smd cas prox
17.5.3	109°	DT3	[LD2 bif rect sen + T3 dist rect] cas prox
13.5.2	106°	DT3	[LD2 rect sen + T3 dist rect] ./ Ammd med cas prox
16.6.3	122°	DT3	[LD2 rect sen + T3 dist rect] cas prox
19.5.3	112°	DT3	[LD2 rect sen + T3 dist rect] ./ Smd dist cas prox (Bc1)
17.8.4	122°	DT3	[LD2 i rect dex + T3 i prox conv] cas dist
23.6.4	110°	DT3	[LD2 rect dex + T3 dist conc] ./ Smd conc (Bc1)
17.8.4	122°	DT3	[LD2 i rect dex + i prox conv] cas dist
16.6.4	117°	DT3	[LD2 rect dex + T3 prox rect] ./ Smd anglé
22.6.4	113°	DT3	[LD2 rect dex + T3 prox conc] ./ Spd dist
17.11.3	111°	DT3	[DL1 rect dex + T3 dist sin] cas prox
19.9.3	122°	DT3	[LD2 rect dex + T3 prox conc] cas dist
13.9.2	110°	DT3	[LD1 conv dex + T3 dist conv] cas prox
19.6.3	94 96°	DT4	[LD2 rect sen + T3 prox rect. T3 conv]
14.6.3	97 97°	DT4	[LD2 conv dex + T3 bip rect]
26.7.3	97°106°	DT4	[LD2 sin sen + T3 prox rect. T3 conc]
23.6.3	93°113°	DT4	[LD2 bif rect sen + T3 prox conc bip]
26.7.3	98°106°	DT4	[LD2 bif rect dex + T3 prox conv. T3 rect]
20.5.3	96°103°	DT4	[LD2 rect sen + T3 prox conc. T3 rect]
34.8.3	104°95°	DT4	[LD2 sin dex + T3 prox. T3 dist sin] ./ Amd dist (Bc1)
21.5.2	102°95°	DT4	[LD2 rect dex + T3 prox conc. T3 dist rect] ./ Smi prox (Bc1)
24.6.3	95°103°	DT4	[LD2 rect dex + T3 prox rect. T3 dist (conc)] ./ Smd dist (Bc1)
15.5.2	90°110°	DT4	[LD2 rect dex + T2 prox rect anglé. T3 dist rect) ./ B6 m norm dist — Smd med — eSmd prox

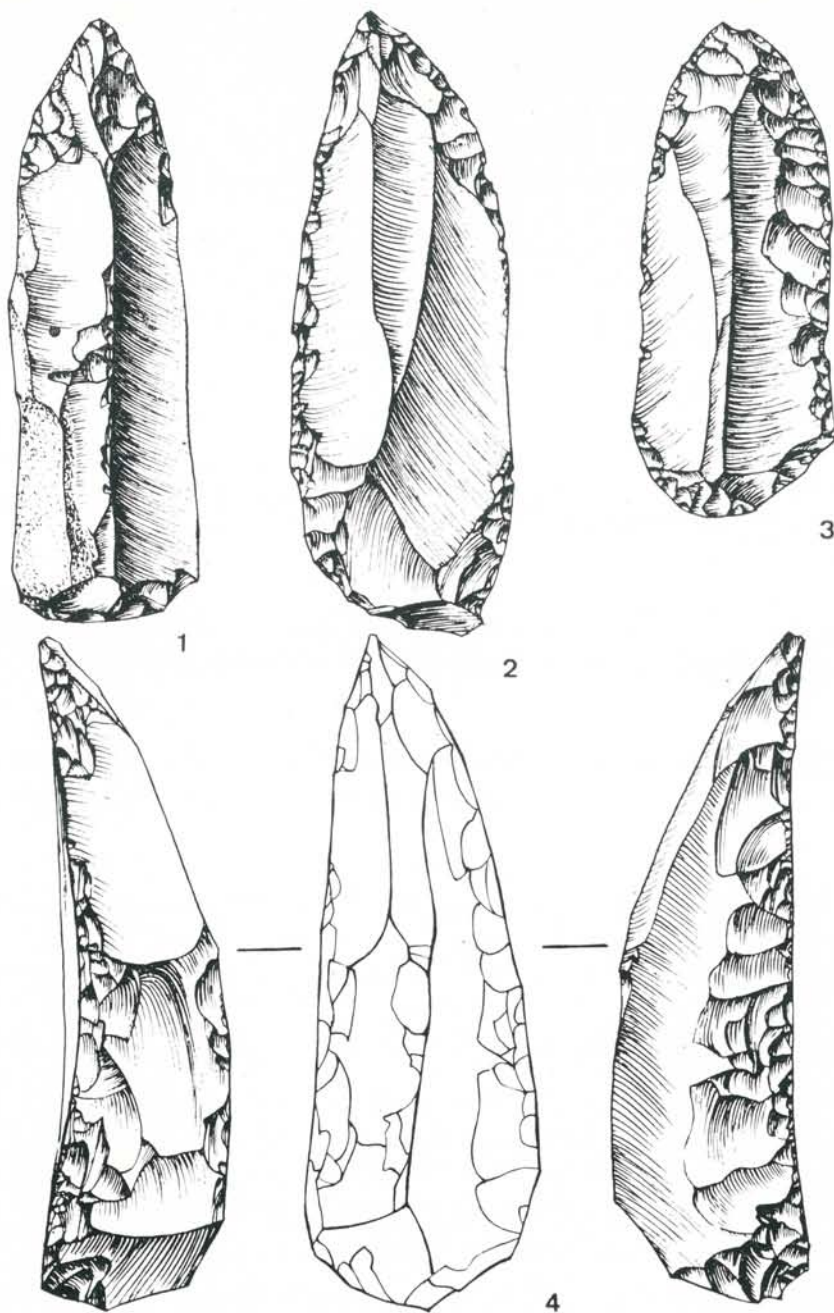


Fig. 5 - Pointe à retouche plate opposée à un grattoir (1); pointe à retouche simple (2); ogive foliacée opposée à un grattoir (3); pointe opposée à un grattoir caréné (4).

23.6.3	100°106°	DT4	[LD2 rect sen + T3 bip conc] ./ Smd med
16.5.3	100°117°	DT4	[LD2 rect sen + T3 prox conc. T3 dist rect] ./ Pmi bip
24.6.3	100°124°	DT4	[LD2 rect sen + T3 bip rect]
20.6.3	106°100°	DT4	[LD2 rect dex + T3 bip rect]
28.5.3	99°104°	DT4	[LD2 bif rect sen + T3 prox conc. T3 rect] ./ Smd prox (Bc1)
31.6.3	100°102°	DT4	[LD2 rect sen + T3 bip rect] ./ Smd (Bc1)
21.5.3	106°104°	DT4	[LD2 bif rect dex + T3 bip rect] ./ Smmd med
21.7.3	102°102°	DT4	[LD2 rect dex + T3 bip rect]
24.6.3	112°102°	DT4	[LD2 rect dex + T3 prox conc. T3 dist rect] ./ eSmd dist
20.6.3	106°110°	DT4	[LD2 bif rect dex + T3 bip rect]
23.5.3	116°110°	DT4	[LD2 rect dex + T3 dist rect. T3 dist conc] ./ Smd dist
14.4.2	114°119°	DT4	[LD2 rect dex + T3 bip rect] ./ Smd dist
14.5.3	113°106°	DT4	[LD2 rect sen + T3 prox anglé. T3 dist rect]
19.5.3	110°115°	DT4	[LD2 bif rect dex + T3 prox rect. T3 anglé] ./ B5 m plan prox
20.6.3	117°119°	DT4	[LD2 bif rect dex + T3 prox rect. T3 conv] ./ B5 m plan prox
16.5.3	115°118°	DT4	[LD2 bif rect dex + T3 prox conc. T3 rect]
18.6.3	115°113°	DT4	[LD2 bif conv sen + T3 bip anglé]
19.6.3	105°102°	DT4	[LD2 bif rect dex + T3 bip rect] ./ dentS alt (Bc1)
16.5.3	118°118°	DT4	[LD2 bif rect dex + T3 prox conc. T3 rect]

Foliacés: 20.

13.12.6	F1	[Pmd dist norm]
48.30.9	F1	[Pmd conv obl dex]
86.17.9	F1	[Ppd dist conv sen. Pmd dist—med]
52.31.5	F3	[Ppd conv sen dist]
34.13.4	F3	[Ppd conv bil dist] /— Smd bil cas prox
27.13.5	F3djt	[Ppd conv bil dist] /— Smd sen cas prox
51.21.9	F3	[Pmd dist conv bil] /— — Pmd prox dex
84.26.5	F3	[Ppd conv bil dist]
49.6.4	F3	[Pmi dist bil]

51.28.10	F10	[Pmd dist dex] ./ Spd prox
11.35.4	F10(L2)	[P(S)pd med—prox sen]
76.22.8	F10	[Pmd med—prox dex]
85.28.6	F10	[Ppd prox sen]
75.30.7	F10	[Pmd med—prox sen] cas bip
72.10.8	F10	[Pmd sen]
26.12.4	F10	[Pmi med—prox dex] / T2 prox part = Pmi
45.29.14	F10	[Ppd dex] cas dist
73.47.11	F10	[Ppd prox]
60.25.10	F10(0)	[Pmmi prox dex]
40.19.4	F10(0)	[Pmmi med dex]

Pointes: 6.

92.35.14	P1(0)	[Smm alt dist bil]
65.35.10	P1(0)	[Smmd dist bil]
52.26.6	P2	[Spd dist conv bil]
95.19.8	P2djt	[Spd dist conv sen. Smd]
58.25.9	P2	[Spd dist conv sen. Smd]
82.31.10	P3	[Spd prox conv dex. Spd conc] / — — Spd conv dist dex

Lames racloirs: 14.

54.21.3	L1(F10)	[S(P)md sen]
81.31.9	L1(F10)	[S(P)md prox dex] cas bip
207.29	L1	[Smd bil prox—med] bulbe cas
75.31	L1	[S(A)md bil prox—med]
50.27	L1	[Smd med dex]
38.22	L1	[Smmd extra dist sen] cas dist
44.22	L1	[Sm alt dex] cas dist
30.16	L1	[Smd bil] cas dist
86.37	L1(0)	[Smmd med—dist dex] cas dist
29.12	L1(0)	[S(A)mmi med sen] cas prox
29.14	L1	[Sm(p)d bil] cas bip
35.16	L1(0)	[Smmd med dex] cas prov
26.10	L1(0)	[Smmd med sen] cas prox
27.6	L1	[Smd extra dist dex]

Racloirs: 39.

73.73	R1(0)	[Smmd trv dist]
67.56	R1(0)	[Smd trv dist]
23.18	R1(0)	[Smmd med dex] cas prox

67.45	R1(0)	[Smmd prox sen] cas bip
52.36	R1(0)	[Smmd med dex]
50.30	R1(0)	[Smmd prox dex] cas dist
37.20	R1(0)	[Smmd med sen]
37.30	R1(0)	[Smmd med sen] cas dist
42.45	R1(0)	[Smmd trv dist]
17.9	R1(0)	[Smmd trv dist]
13.31	R1	[Smmd trv dist]
19.37	R1	[Smd dex]
27.16	R1	[Smd trv dist]
52.34	R1	[Smd prox dex]
32.27	R1	[Smd dex] cas bip
47.26	R1	[Smd trv dist]
40.40	R1	[Smd sen] cas bip
45.35	R1	[Smd dex]
82.37	R1(D1)	[(e)Smi med dex]
95.53	R1(F10)	[S(P)md bil div] cas prox
101.81	R1	[Smd trv dist]
91.62	R1	[Sm(p)d med sen. S(A)md med
40.40	R1	[Smi dex] cas dist
46.30	R1	[Sm alt dex]
40.28	R1	[Smd dex] cas dist
45.33	R1	[Smd sen] cas prox
40.40	R1	[Smd dist dex]
20.40	R1	[Sm(p) part trv anglé dex]
46.57	R1	[Sm(p) i prox sen]
39.35	R1	[Smd med sen]
52.31	R1	[Smd trv dist]
27.16	R1	[Smd dex]
45.24	R1	[Sm(p)d med sen]
12.15	R1	[Sm(m)d sen] ./ Pmi base
14.20	R1(D1)	[(e)Smd med sen] cas bip
20.16	R1	[Smd sen] cas bip
13.25	R1	[Smd dex] cas bip
50.51	R2	[Spd med sen] / (B1) trv dist cas bip
36.25	R2	[Spd dex] cas bip

Abrupts: 26.

20.29	A1(0)	[Ammd med dex] cas bip
45.43	A1(0)	[Ammd trv anglé dex] cas dist

32.36	A1(0)	[Ammd sen] cas dist
24.14	A1(0)	[Ammd med dex] cas bip
33.17	A1(0)	[Amm alt disc dex] cas dist
27.18	A1(0)	[Ammd dex]
32.30	A1	[Amd prox sen]
8.11	A1	[Amd dex] cas bip

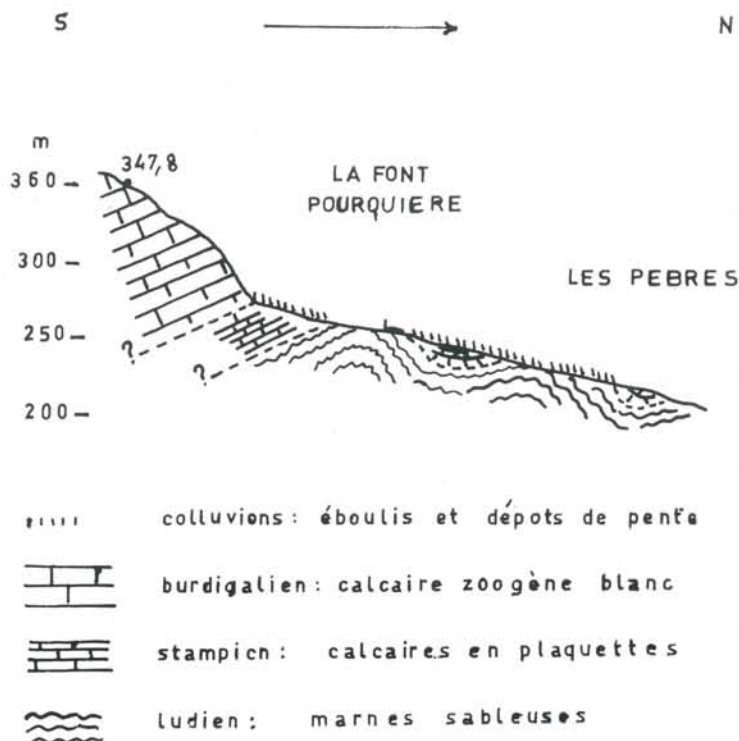


Fig. 6 - La Font Pourquieré: coupe géologique.

10.21	A1	[Am] cas bip
27.22	A1	[Amd dist dex] cas dist
55.31	A1	[Amd prox dex]
68.20	A1	[Amd dist dex]
40.23	A1	[Amd med dex]
66.47	A1(T1)	[Amd trv dist]
50.32	A1	[Amd trv dist]
67.35	A1(0)	[Ammd med sen]

71.25	A1(LD1)	[Amd med sen]
62.19	A1(LD1)	[Amd prox dex]
41.16	A1(LD1)	[Amd med sen] cas dist
35.38	A1	[Am(p)d conc trv dist part] cas prox
21.30	A1	[Ami trv dist]
42.31	A1	[Amd trv dist]
28.19	A1	[Ami bil] cas bip
27.24	A1	[Ami sen] cas dist
60.50	A1(2)	[Am(p)d trv dist] / D1p prox sen
48.71	A2(D)	[eAp trv dist]

Denticulés: 77.

16.6	D1(0)	[eSmmmd med sen] cas prox
16.6	D1(0)	[eSmmi med sen] cas bip
16.32	D1(0)	[eSmmi med sen] cas dist
37.33	D1(0)	[eSmmd dist sen] cas dist
51.40	D1(0)	[eSmmi med sen] cas dist
3623	D1(0)	[eSmmd med sen] cas prox
27.20	D1(0)	[eSmmd prox dex] cas dist
17.9	D1(0)	[eSmmd prox dex] cas dist
24.14	D1	[eSmd trv dist] cas prox
10.9	D1	[eSmd dex] + cas prox
30.16	D1	[eSmd med dex] cas prox
33.24	D1	[eSmi prox dex]
49.22	D1	[eSmd med dex] cas dist
76.52	D1	[eSmd med sen]
40.25	D1	[eSmd med dex] cas dist
69.53	D1	[eSmd dist sen]
39.28	D1	[eSmd med dex] ./ [Smd extra dist sen] cas bip
67.18	D1	[eSmi prox sen] cas prox
34.12	D1	[eSmi med sen] cas dist
28.43	D1	[eSmd med sen] cas bip
47.25	D1	[eSmi med dex] cas dist
15.16	D1	[eSmd med dex]
47.18	D1	[eSmi trv dist]
35.16	D1	[eSmd trv dist]
27.5	D1	[eSpd med sen] cas dist
36.12	D1	[eSm(p)d med sen]
27.11	D1	[eSmi med sen] cas dist
62.24	D1	[eS(A)pd med dex]

85.41	D1	[eSpd med dex]
47.20	D1	[eSpi med dex] cas prox
27.25	D1	[eSpi med sen] cas bip
56.28	D1	[eSpi med sen] — — Pmi med sen
70.40	D1	[eSpd med sen] ./ Smi med
52.35	D1	[eSpd med dex] ./ Amd med cas bip
52.25	D1	[eSp(m)d prox dex] cas bip
63.20	D1	[eSmd dist sen] cas prox
60.46	D1	[eSmd extra dist] + cas dist
52.40	D1	[eSpd med sen — — eSmd — — eSpd prox] + cas bip
30.25	D1	[eSpd med dex] cas bip
52.35	D1	[eSpi med dex]
47.31	D1	[eSpi med sen] cas dist
50.30	D1	[eSpd — — eSpd med dex]
63.31	D1	[eSpi dist dex] ./ Ammi
45.22	D1	[eSpd med dex]
55.40	D1	[eSm(p)d med sen]
55.45	D1	[eSp alt bil med]
47.27	D1	[eSpi dist sen] + cas
51.12	D1	[eSp(m)i prox sen]
37.58	D1	[eSpd trv dist]
44.38	D1	[eSp alt bil med]
32.23	D1	[eSpi med dex] cas prox
38.23	D1	[eSpi med dex/ cas dist
19.9	D1	[eSpi dist dex] + cas obl
29.20	D1	[eSpi med sen] cas bip
30.32	D1	[eSm(p)i trv dist] cas prox
18.21	D1	[eSpi double dex]
31.11	D1	[eSp(m)i med dex] cas bip
26.18	D1	[eSmd trv dist]
55.37	D1	[eSpi med dex] cas dist
15.28	D1	[eSpd trv dist]
80.50	D1	[eSppd med sen. eSppd dist dex]
55.37	D1	[eSppd med sen] cas bip
62.17	D1	[eSppd dist dex]
45.20	D1	[eSpp alt sen 4fois] cas bip
20.12	D1	[eSpi med sen] cas prox
43.20	D1	[eSpi med sen] cas prox
50.30	D1	[eSppi med dex] cas prox

80.20	D1	[eSpd prox dex]
55.20	D1	[eSppd med dex]
50.35	D1	[eSppi med sen]
70.70	D1	[eSpd trv dist] / Am(p)i dex
30.15	D1	[eSpi dex] + cas dist
46.27	D2	[dSpi prox-med dex]
30.41.14	D1(5)	[eSpd prox dex + cas dist] cas bip
73.45.26	D5	[eSEpd med sen]
36.28.15	D5	[eSEpd med sen]

Divers: 2.

Pièces écaillées.

70.72.29	PE	multiple
15.13.2	PE	« Epi trv dist »

Nous récapitulons les types primaires et leurs fréquences dans un tableau.

		<i>effectifs fréquences %</i>
BURINS		22 5,7
B1	burin simple à un pan	5 1,3
B2	burin simple à deux pans droit	1 0,3
B3	burin simple à deux pans déjeté	2 0,5
B4	burin simple ou sur cassure à retouche d'arrêt	
B5	burin sur cassure	11 2,9
B6	burin sur retouche à pan latéral	3 0,7
B7	burin sur retouche à pan oblique	
B8	burin sur retouche à pan transversal	
B9	burin sur retouche à retouche d'arrêt	
GRATTOIRS		4 1,0
G1	grattoir frontal long	3 0,7
G2	grattoir frontal long à retouche latérale	1 0,3
G3	grattoir frontal court	
G4	grattoir frontal court à retouche latérale	
G5	grattoir frontal circulaire	
G6	grattoir à museau ogival	
G7	grattoir à museau dégagé	
G8	grattoir caréné à museau	
G9	grattoir caréné frontal	

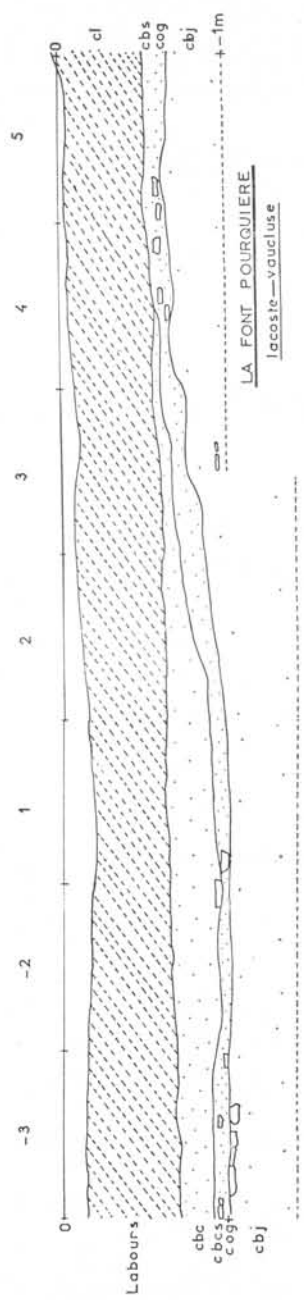


Fig. 7 - La Font Pourquière: stratigraphie.

	<i>effectifs</i>	<i>fréquences %</i>
TRONCATURES	25	6,5
T1 troncature marginale	4	1,0
T2 troncature normale	11	2,9
T3 troncature oblique	10	2,6
BECS	12	3,1
Bc1 bec déjeté	12	3,1
POINTES A DOS	21	5,5
PD1 pointe à dos marginal	3	0,7
PD2 pointe à dos partiel	3	0,7
PD3 pointe-cran		
PD4 pointe à dos total	15	4,0
PD5 pointe à dos et cran adjacent		
PD6 pointe à dos et cran opposé		
PD7 pointe à dos et soie		
LAMES A DOS	44	11,5
LD1 lame à dos marginal	17	4,3
LD2 lame à dos profond	25	6,5
LD3 lame à cran	2	0,6
LD4 lame à dos et cran adjacent		
LD5 lame à dos et cran opposé		
LD6 lame à soie		
DOS ET TRONCATURE	71	18,5
DT1 lame à dos et troncature normale	10	2,6
DT2 lame à dos et troncature normale double	2	0,5
DT3 lame à dos et troncature oblique à angle aigu	2	0,5
DT4 lame à dos et troncature oblique à angle obtus	31	10,4
DT5 lame à dos et troncature double irrégulière	26	6,8
DT6 lame à dos et piquant trièdre à base réservée ou tronquée		

		<i>effectifs</i>	<i>fréquences %</i>
DT7	pointe à dos à base tronquée normalement		
DT8	pointe à dos à base tronquée obliquement		
GEOMETRIQUES			
Gm1	segment de cercle		
Gm2	segment trapézoïdal		
Gm3	triangle scalène		
Gm4	triangle isoschlèle		
Gm5	trapèze scalène		
Gm6	trapèze isoscèle		
Gm7	trapèze rectangle		
Gm8	rhomboïde		
PIECES A RETOUCHE PLATE		20	5,2
F1	troncature foliacée à face plane	2	0,5
F2	poitne foliacée à face plane déjetée		
F3	pointe foliacée à face plane droite	7	1,7
F4	ogive foliacée à face plane		
F5	pièce foliacée biface		
F6	pièce foliacée à base tronquée		
F7	pièce foliacée pédonculée		
F8	pièce foliacée à cran		
F9	géométrique foliacé		
F10	racloir foliacé	11	2,9
POINTES		6	1,5
P1(0)	pointe à retouche extramarginale	2	0,5
P1	pointe à retouche marginale		
P2	pointe droit	3	0,7
P3	pointe déjetée		
P4	pointe à épaulement	1	0,3
P5	pointe carénoïde		
LAMES-RACLOIRS		14	3,6
L1(0)	lame-racloir à retouche extramarginale	5	1,2
L1	lame-racloir à retouche marginale	9	2,3
L2	lame-racloir		
L3	lame-racloir carénoïde		

		<i>effectifs</i>	<i>fréquences %</i>
RACLOIRS		39	10,2
R1(0)	racloir à retouche extramarginale	10	2,6
R1	racloir à retouche marginale	27	7,0
R2	racloir latéral	2	0,5
R3	racloir transversal		
R4	racloir latéro-transversal		
R5	racloir carénoïde		
ABRUPTS		26	6,8
A1(0)	abrupt extramarginal	6	1,5
A1	abrupt marginal	19	4,9
A2	abrupt profond	1	0,3
DENTICULES		77	20,0
D1	encoche	74	19,2
D2	racloir denticulé	1	0,3
D3	pointe denticulée		
D4	grattoir denticulé		
D5	encoche carénoïde	2	0,5
D6	racloir denticulé carénoïde		
D7	pointe denticulée carénoïde		
D8	pointe denticulée carénoïde		
DIVERS		2	0,5
PE	pièce esquilée	2	0,5
<i>TOTAL</i> des types primaires		383	
Outil double		1	
Recoupe de piquant trièdre (microburin)		2	
Nucléi		27	

Nous venons de donner l'analyse développée de tous les objets lithiques portant une retouche. Ce travail va nous permettre révéler la physionomie structurale de l'industrie et ainsi de définir le complexe de La Font Pourquiére. Cette structuration s'articule à différents niveaux. Chacun de ces niveaux d'analyse regroupe dans ses rubriques qualitatives les pièces qui ont un certain nombre de critères en commun. Une séquence structurale (Laplace 1966, 1974) donne l'image du complexe à un niveau d'analyse, elle a donc une signification partielle. Elle n'est compréhensible qu'en dépendance avec les autres séquences. Nous envisageons un système dialectique hiérarchisé à niveaux multiples. Nous calculons les discontinuités à l'aide du critère de contingence: le Khi² calculé par rapport à la proportion théorique ($\frac{x_1+x_2}{2}$) des deux catégories pour les effectifs supérieurs à 5.

Nous utilisons la loi binomiale: $P(k)=C^k_n p^k q^{n-k}$, pour les effectifs inférieurs à 5. Nous pouvons quantifier, dans une matrice, les discontinuité à l'aide du coefficient de corrélation de point: φ (Laplace - Livache 1975).

E - ETUDE STRUCTURALE

E1 - Structure des Ordres de retouches.

	A //	S	///	B	P //	SE	E
effectifs:	199	138		22	20	2	2

N=383

La séquence structurale est bien différenciée. Un Ordre est dominant: A.

E2 - Structure des Groupes Typologiques.

E21 - Séquence structurale au sein du mode Abrupt.

	DT /	LD	A	T	PD	Bc
effectifs:	71	44	26	25	21	12

N=199

La dominance des seuls Dos et Troncatures est mise en relief.

E22 - Séquence structurale au sein des modes Simple, Plat, Burin et Ecaillé.

	D	LR	//	B	F	/	P	G	E
effectifs:	77	53		22	20	6	4	2	

N=184

Les deux groupes: Denticulés et Racloirs, sont bien isolés. Nous pouvons faire apparaître l'intensité des liaisons (calcul de φ) entre les groupes deux à deux dans des matrices structurales.

LR 53	0,136					
B 22	0,337	0,209				
F 20	0,352	0,225	0,017			
P 6	0,462	0,348	0,164	0,148		
G 4	0,479	0,368	0,191	0,176	0,033	
E 2	0,496	0,389	0,220	0,206	0,075	0,043
D 77	LR 53	B 22	F 20	P 6	G 4	

N = 184
rupture pour 0,144.

LD 44	0,150					
A 26	0,263	0,119				
T 25	0,270	0,126	0,008			
PD 21	0,298	0,156	0,039	0,031		
Bc 12	0,365	0,231	0,120	0,112	0,082	
DT 71	LD 44	A 26	T 25	PD 21		

N = 199
rupture pour 0,139

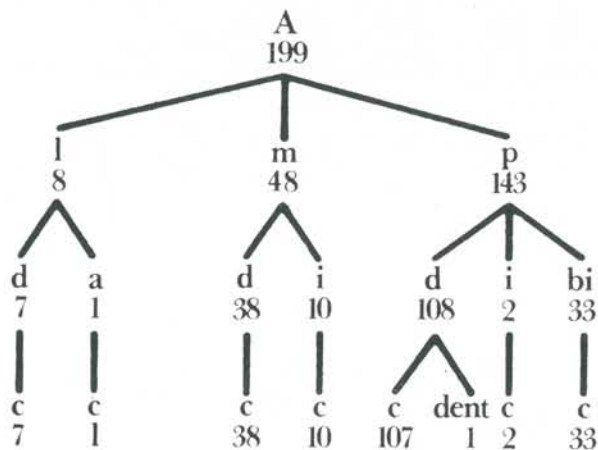
E23 - Nous pouvons distribuer les effectifs, pour chaque mode, sous forme d'arbre suivant différents critères:

pour l'amplitude: p=profonde, m=marginale, l=liminale.

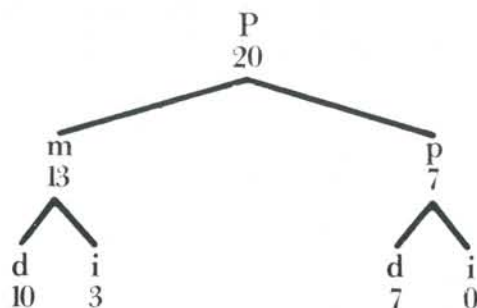
pour la direction: d=directe, i=inverse, a=alternante, bif=biface.

pour la délinéation: c=continue, e=encochée, dent=denticulée.

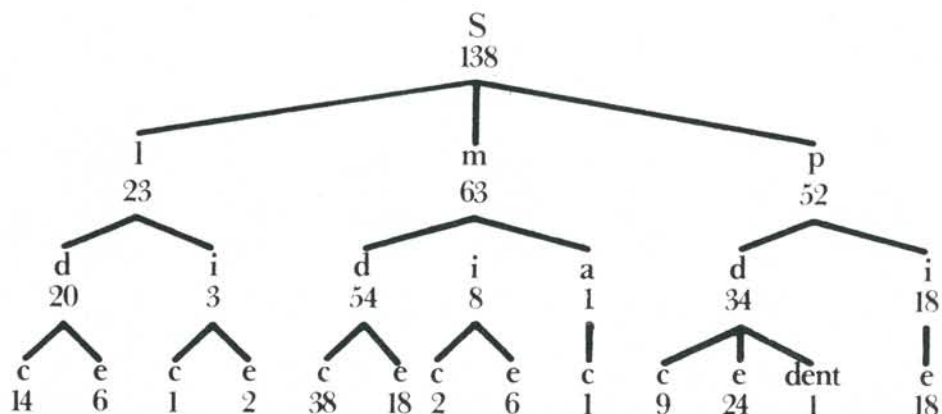
E231 - Mode Abrupt:



E232 - Mode plat:



E233 - Mode simple:



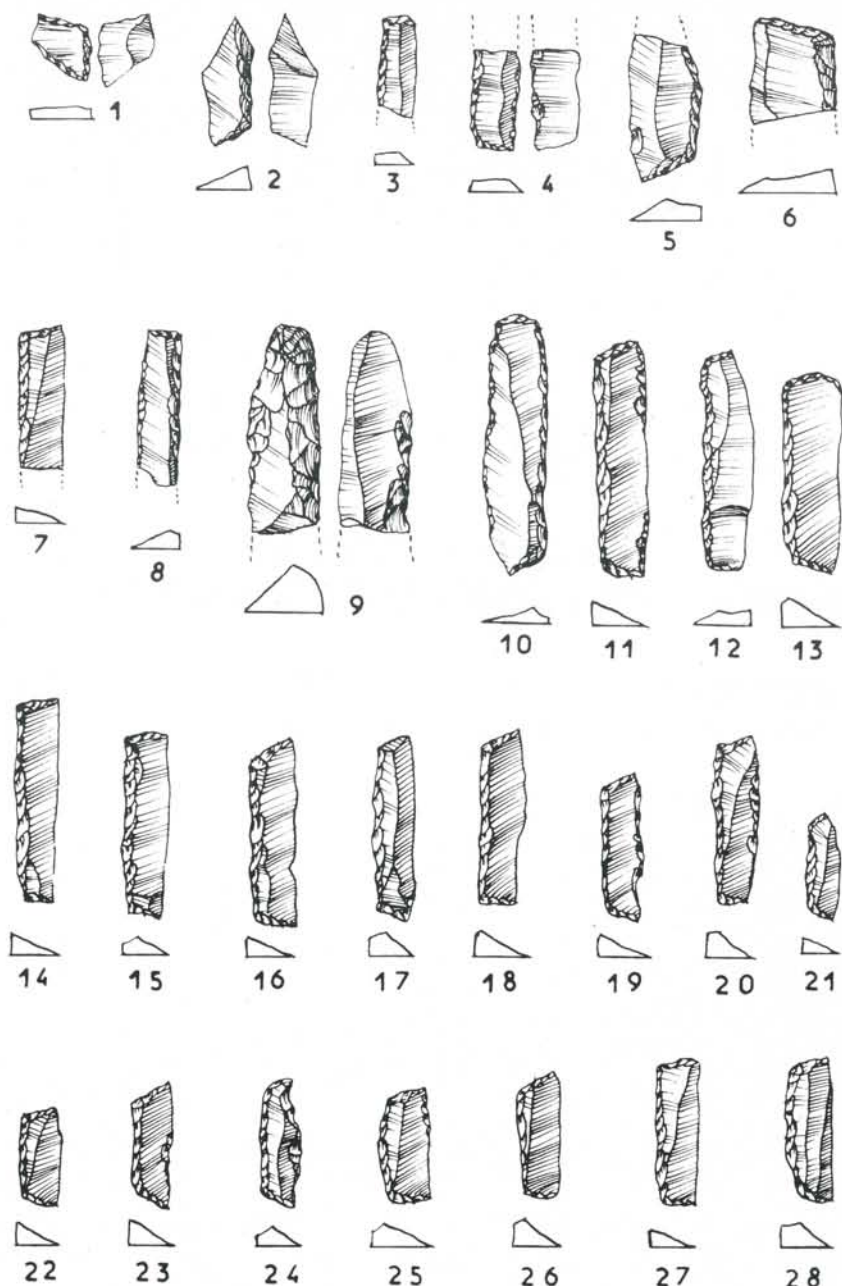


Fig. 8 - Recoupes piquants trièdres (1 et 2); lamelles à dos tronquées (3 à 28).

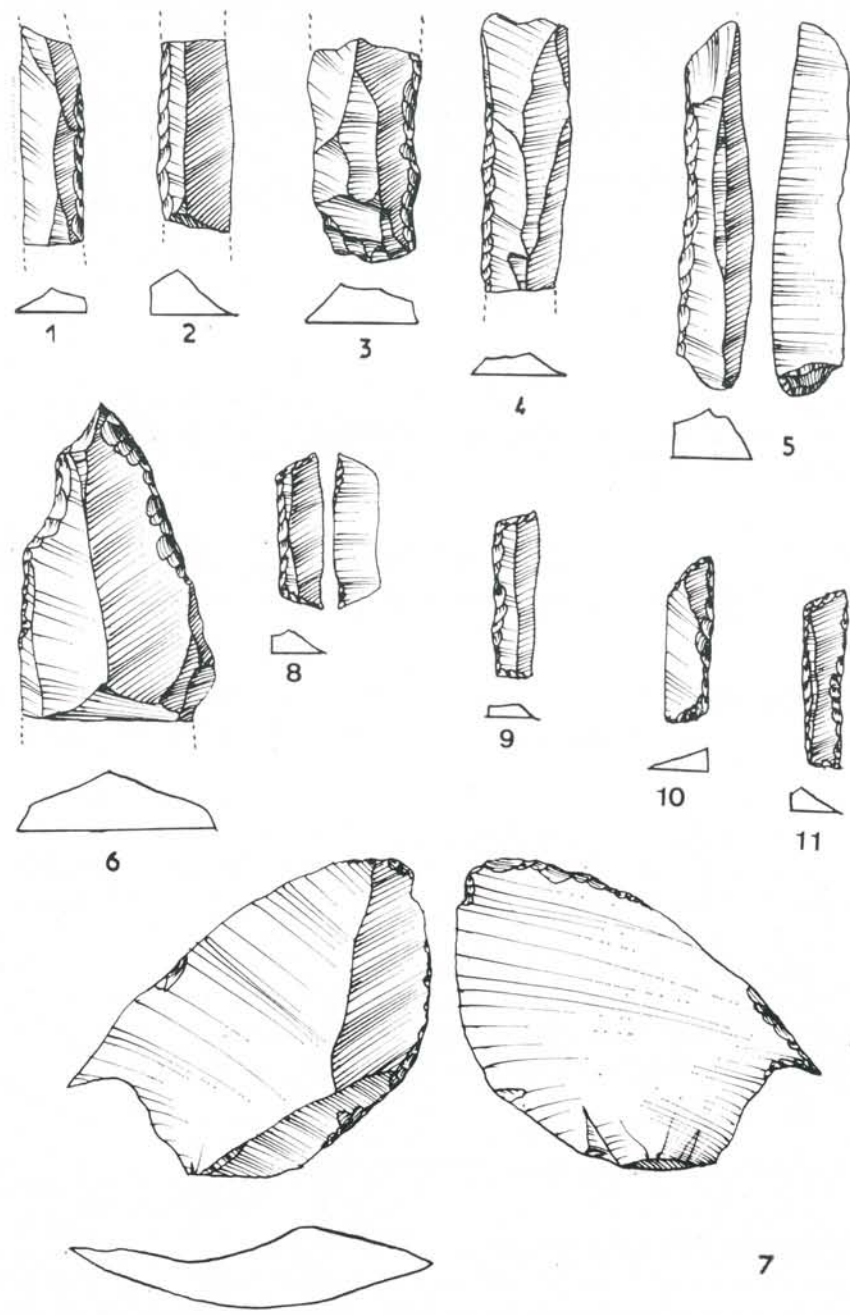


Fig. 9 - Lames et lamelles à dos (1 à 5); becs (6 et 7); lamelles à dos tronquées (8 à 11).

E24 - On peut reprendre ces données sous forme de tableau de contingence.

A	S	P	l	m	p	d	i	a	bif	c	e	dent
199			8	48	143	153	12	1	33	197	1	1
	138		23	63	52	108	29	1	0	63	74	1
		20	0	13	7	17	3	0	0	20	0	0
			31	124	202	278	44	2	33	280	75	2

Ces arbres et ce tableau sont des dénombrements plats. La séquence structurale en donne une représentation dynamique.

E25 - Faisons apparaître au sein des modes Abrupt et Simples des ruptures pour l'amplitude (l, m, p).

Mode Abrupt:

Ap	///	Am	///	Al
143		48		8

N=199

Mode Simple:

Sm	Sp	//	Sl	N=138
63	52		23	N=138

Dans le mode Abrupt, les trois amplitudes sont séparées avec dominance de la retouche profonde. Dans le mode Simple on constate la codominance des amplitudes marginale et profonde.

E3 - Etude structurale des Groupes typologiques.

Nous pouvons étudier l'organisation des groupes typologiques au niveau des classes lorsque cela est possible. Nous suivrons l'ordre d'importance des groupes dans le mode auquel ils appartiennent.

E31 - Les Abrupts.

E311 - Les Dos et Troncatures (fig. 8 et 9).

C'est le mode dominant des Abrupts. Les objets recueillis sont tous des lamelles à dos tronquées ou bitronquées. Les dos des lamelles et les troncatures forment tous un angle ouvert ($>90^\circ$). Les mesures des 98 angles s'échelonnent entre 89° et 126° . La médiane: $X_{50}=104^\circ$, le premier quartile: $X_{25}=98^\circ$, le troisième quartile: $X_{75}=108^\circ$. Les

éléments qui ne portent qu'une seule troncature ont une cassure à l'autre extrémité. Ce pourrait être des bitroncatures cassées.

E312 - Les Lames et Lamelles à Dos (fig. 9).

Séquence structurale:

LDp	LDm	//	LDcran	
25	17		2	N=44

Les lamelles à dos profonds et marginaux sont isolées des crans.

E313 - Les Abrupts indifférenciés.

Séquence structurale:

Am / Al	Ap			
19	6	1		N=26

On note la prédominance des abrupts marginaux.

E314 - Les Troncatures (fig. 10).

Classes: Troncatures marginales, Tm=4

Troncatures profondes, Tp=21	Tp normales=11
	Tp obliques=10

Séquence structurale:

Tp norm	Tp obl	Tm
---------	--------	----

Il n'y a pas de rupture dans la séquence des types primaires représentés.

Le tableau suivant inclut d'autres critères pour les troncatures.

La retouche peut être: rectiligne=ret, concave=cc, convexe=cv ou sinueuse=sin.

Troncatures	normales				obliques		
	ret	cc	cv	sin	ret	cc	cv
m	3				1		
p	10	1			8	1	1

E315 - Les Pointes à Dos (fig. 11).

Séquence structurale:

PDp	//	PDm	PDcran	
18		3	0	N=21

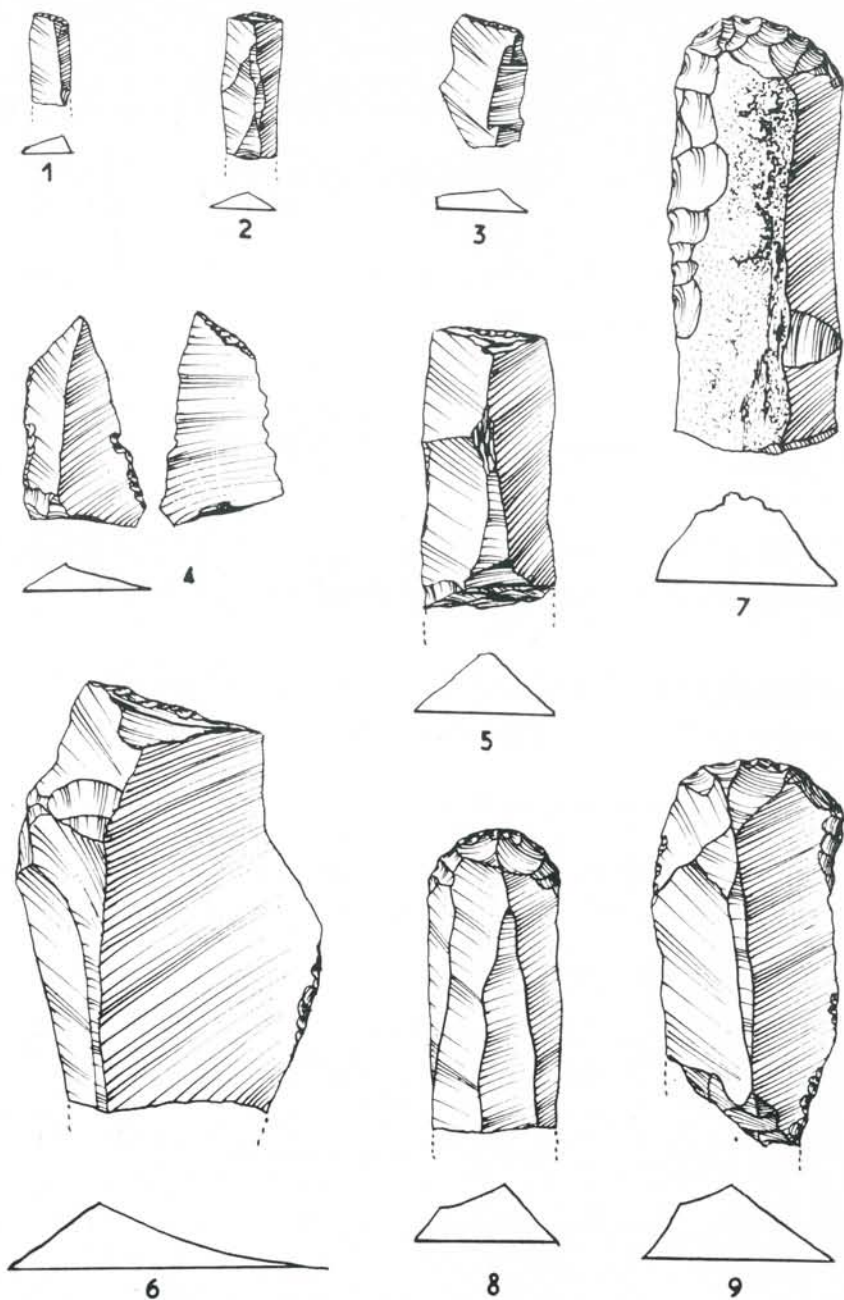


Fig. 10 - Troncature (1 à 6); grattoir (7 à 9).

Ce groupe est dominé par les pointes à dos profond qui sont toutes rectilignes. 12 des 18 PDp sont obtenues par retouche biface. 10 d'entr'elles sont complétées par une retouche plate de base ou de sommet (variété: pointe des Vachons).

E316 - Les Becs (fig. 9).

Ce sont tous des becs déjetés obtenus à partir d'une retouche abrupte transversale. Ils ont pour support un petit éclat ou un éclat.

E32 - Les Simples, Plats et Ecaillés.

E321 - Les Denticulés (fig. 12 et 13).

Groupe dominant, il est constitué par 74 encoches, 1 racloir denticulé profond et 2 encoches carénées qui sont les deux seuls outils à retouche Surélevée (SE) de la série.

E322 - Les Lames-racloirs et les Racloirs (LR) (fig. 13).

Séquence structurale:

LRm	///	LRL	/	LRp	L
34		15		4	N
					N=53

Les racloirs (LR) constituent un groupe typologique presqu'exclusivement formé de pièces à retouche marginale ou liminale.

E323 - Les Foliacés (fig. 14).

Si on considère les trois types primaires représentés:

Pointes foliacées unifaces, P[P]=7

Racloirs foliacés unifaces, R[P]=11

Troncatures foliacées, T[P]=2

nous obtenons la séquence structurale:

R[P] P[P] / T[P]

La retouche plate des racloirs foliacés est envahissante et non couvrante. Elle est souvent en continuité avec une retouche Simple.

E324 - Les Pointes (fig. 15 et 16).

Les 6 pointes de mode Simple se répartissent ainsi: 2 pointes profondes dont une est déjetée et 1 pointe à épaulement.

E325 - Les Grattoirs (fig. 10).

Ils sont très peu représentés. Ce sont des grattoirs frontaux. Un exemplaire porte une retouche Simple latérale rectiligne.

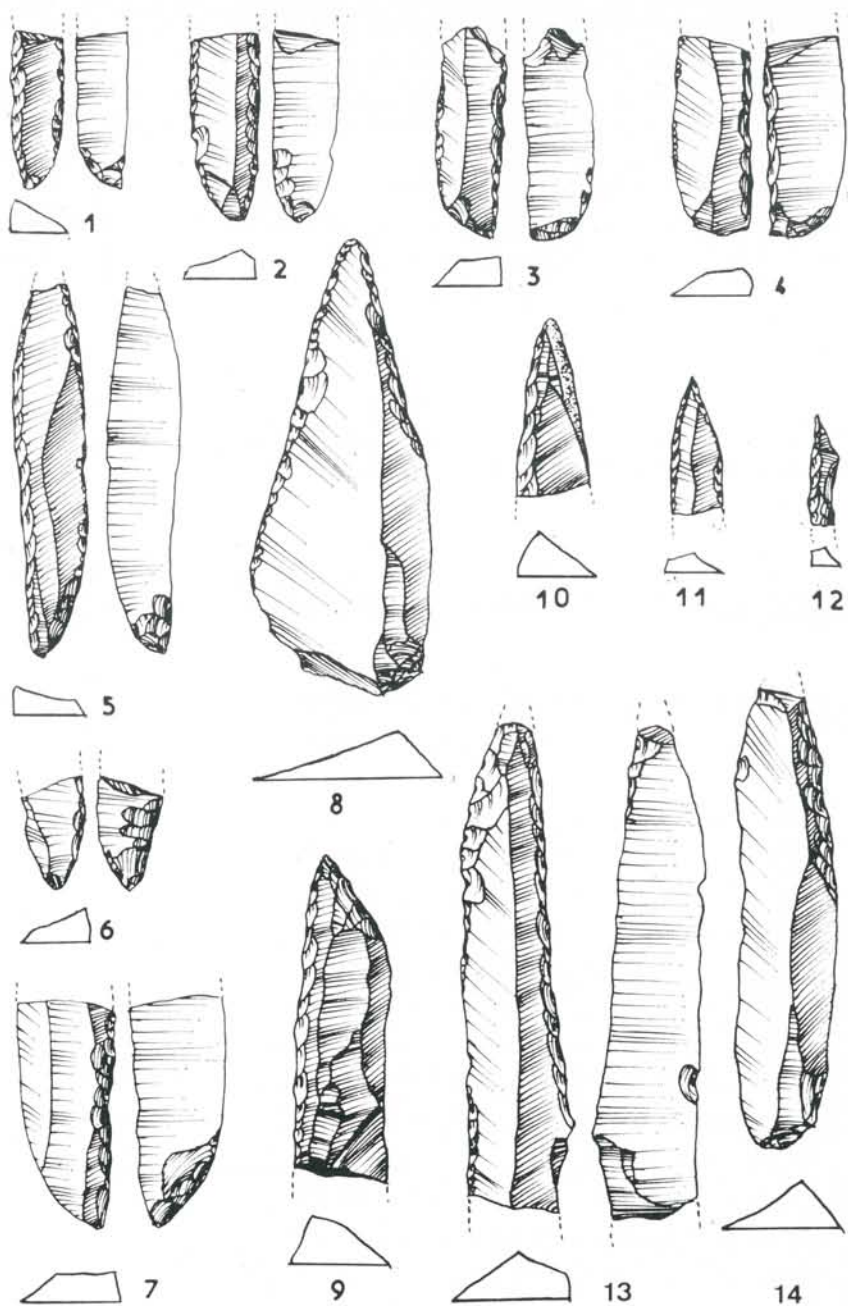


Fig. 11 - Pointes à dos et fragments.

E33 - *Les Burins* (fig. 7).

Classes: Burins simples, Bs=8; Burins sur cassure, Bc=11; Burins sur retouche, Br=3.

Séquence structurale:

Bc	Bs	Br	
11	8	3	N = 21

L'analyse des tranchants des burins permet d'établir le tableau suivant (Laplace 1968):

Tranchant	nomal	plan	mixte	prismatique	caréné
rectiligne	12	4			
sigmoïde	1	1			
polygonal			1		2

L'étude structurale permet de mettre à leur juste place les différents critères ou thèmes typologiques dans l'ensemble qu'ils forment: le complexe industriel.

On pourrait rendre la physionomie structurale de l'ensemble du complexe au niveau des groupes typologiques après les avoir classés dans l'ordre décroissant des effectifs.

Effectif total=383. Effectif à 50% des outils, E₅₀=191.

Séquence structurale pour E₅₀:

D	DT	LR		N=201.
77	71	53		N=201.

Effectif à 75% des outils, E₇₅=255.

Séquence structurale pour E₇₅:

D	DT	LR	LD		N=245
77	71	53	44		N=245

F - COMPARAISONS

Un tel ensemble industriel est nouveau en Vaucluse. Les gisements du Paléolithique Supérieur et du Mésolithique (Paccard 1961, 1963, 1964) voisins de La Font Pourquiére (12 km maximum) ont tous donné des industries fort différentes de celle considérée ici. Il n'est que de connaître les fréquences pour cent de quelques groupes typologiques pour s'en convaincre.

Il n'existe aucune ressemblance entre le niveau de La Font Pourquiére et les niveaux magdalénoïdes, aziloïdes ou ou sauveterroïdes géographiquement voisins.

	Burins	Grattoirs	Dos et Troncatures	Foliacés
La Font Pourquiére	5,7	1,0	18,5	5,2
Soubeyras c4	20,7	7,0	2,9	0
c2	11,5	20,3	2,1	0,3
La Combe Buisson				
c4	6,4	14,2	1,2	3,8
c3	6,3	19,1	3,8	1,2
Roquefure n9	11,6	16,2	2,3	0
n5	13,2	8,0	2,3	0
Chinchon I nB	14,8	5,4	1,9	0
nA	13,0	15,6	0	0

Nous sommes amenés à comparer notre gisement avec les industries récoltées hors du Vaucluse. Certains niveaux archéologiques datés de la fin du Wurm III ou du Dryas I du S-E de la France ou d'Italie nous offrent cette possibilité. Les foyers: F5-4 et F4-3-I I des Arene Candide (Cardini 1947, décomptes Laplace), les niveaux 18 et 17 de la grotte Paglicci (Menzenna, Palma di Cesnola 1967) et le niveau 1F de la grotte n. 1 de La Bouvierie-Var (Onoratini 1974) ont un fond commun avec La Font Pouquiére (LFP), celui de la présence de l'*association caractéristique* (Laplace 1964):

PD ret (variété Gravette) + Pointes (P) ou (S) + LDT.

G. Laplace a montré (Laplace 1964, 1966) comment cette association du « Tardigravettien ancien à pointes à face plane » est le prolongement du Gravettien italien et comment ces niveaux évoluent vers le « Tardigravettien ancien à crans » (niveau C de Chinchon n. 1 en Vaucluse). Les fouilles récentes à Paglicci des strates 21 à 19 qui fournissent un Gravettien à burins de Noailles et à lames à dos tronquées (Palma di Cesnola 1975) et celles effectuées à la Bouvierie confirment le schéma de l'évolution du Tardigravettien ancien et montrent ses racines gravettiennes. Rappelons que M. Escalon de Fonton nomme « Arénien » ces niveaux et les attribue en 1966 à « un faciès particulier du Gravettien, en référence à un des niveaux des Arene

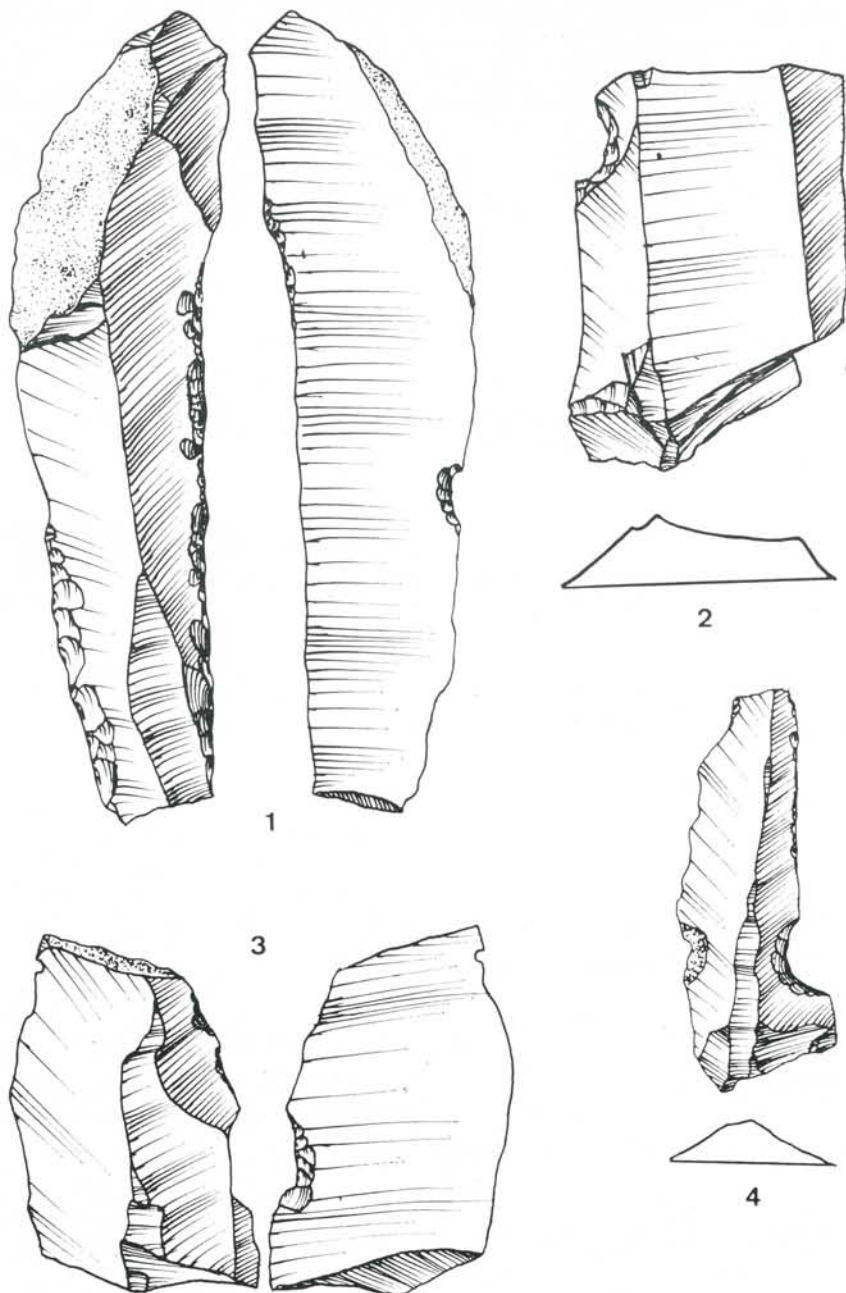


Fig. 12 - Denticulés: enchoches.

Candide » (Escalon 1959, 1966, 1973). Nous ne ferons pas référence au niveau A7 de la Baume Bonne où les éléments de petite taille sont absents. De même, dans l'étude comparative détaillée, nous ne considérerons pas le niveau 1F de la Bouverie non encore étudié en typologie analytique. D'après la thèse de G. Onoratini les Denticulés et les Racloirs sont très peu représentés dans le site varois.

F1 - Analyse structurale comparée.

La séquence structurale définit le complexe industriel. Envisageons la à deux niveaux, celui des structures des Ordres et des structures des Groupes Typologiques.

F11 - Séquences structurales des Ordres.

LFP	A	//	S	///	B	P	//	SE	E	
	199		138		22	20		2	2	N = 383
AC5-4	A	/	S	///	B	P	SE	E		
	47		27		2	1	1	0		N = 78
AC4-3-II	A	///	S	///	B	P	SE	E		
	102		35		7	1	1	1		N = 147
P18	S	///	B	A	//	P	SE	E		
	78		24	21		3	1	0		N = 127
P17	S	A	///	P	B	SE	/	E		
	104	99		24	16	10		0		N = 253

Les séquences les plus homomorphes (Livache 1974) sont celles de LFP et des Arene Candide. Nous pouvons, à ce niveau, classer les 5 séries en séries à Abrupts dominants: LFP et Arene Candide, et en séries à Simples dominants: Paglicci.

Si nous appliquons le test du Khi2 au séries (Laplace 1974), nous remarquons que LFP et AC5-4 d'une part, AC5-4 et AC4-3-II d'autre part sont des séries homogènes.

F12 - Séquences structurales des Groupes Typologiques.

F121 - Séquences structurales au sein des Abrupts.

LFP	DT 71	/	LD 44	A 26	T 25	PD 21	Bc 12		N = 199
AC5-4	LD 28	/	DT 11	PD 6	T 1	Bc 0	A 0		N = 46
AC4-3-II	LD 54	/	DT 31	PD 16	/	T 1	Bc 0	A 0	N = 102
P18	PD 7	DT 5	LD 3	Bc 3	A 3	/	T 0		N = 21
P17	LD 54	///	PD 19	DT 13	T 8	Bc 4	A 1		N = 99

Les séquences structurales des Abrupts montrent l'organisation fort différente des complexes.

F122 - Séquences structurales des Groupes Typologiques au sein des Ordres Simple, Surélevé, Ecaillé et Burin.

LFP	D 77	LR 53	//	B 22	F 20	/	P 6	G 4	E 2	N = 184
AC5-4	LR 20	//	P 5	D 3	B 2	F 1	G 0			N = 29
AC4-3-II	LR 17	P 13	B 7	D 3	G 3	F 1				N = 38
P18	LR 39	B 24	G 20	D 15	P 5	F 3				N = 78
P17	LR 65	///	F 24	G 21	B 16	P 14	D 14			N = 154

Il n'y a pas d'homomorphie. L'agencement est partout différent.

F13 - Tableaux d'analyse structurale comparée.

Ces tableaux permettent d'évaluer la disparité des catégories au sein des séquences que nous venons de donner. Nous portons les fréquences dans les colonnes.

	LFP	AC5-4	
B	.057	.026	différence non significative
G	.010	.000	différence non significative
T	.065	.013	différence non significative
Bc	.031	.000	différence non significative
PD	.055	.077	différence non significative
LD	.115	.359	dominance hautement significative pour AC5-4
DT	.185	.154	différence non significative
F	.052	.013	différence non significative
P	.016	.064	dominance significative pour AC5-4
LR	.138	.256	dominance très significative pour AC5-4
A	.068	.000	dominance significative pour LFP
D	.201	.038	dominance hautement significative pour LFP
E	.005	.000	différence non significative
N	383	78	

	LFP	AC4-3-II	
B	.057	.048	différence non significative
G	.010	.020	différence non significative
T	.065	.007	dominance très significative pour LFP
Bc	.031	.000	dominance significative pour LFP
PD	.055	.109	dominance significative pour AC4-3-II
LD	.115	.367	dominance hautement significative pour AC4-3-II
DT	.185	.211	différence non significative
F	.052	.007	dominance significative pour LFP
P	.016	.088	dominance hautement significative pour AC4-3-II
LR	.138	.116	différence non significative
A	.068	.000	dominance hautement significative pour LFP
D	.201	.020	dominance hautement significative pour LFP
E	.005	.007	différence non significative
N	383	147	

	LFP	P18	
B	.057	.189	dominance hautement significative pour P18
G	.010	.157	dominance hautement significative pour P18
T	.065	.000	dominance très significative pour LFP
Bc	.031	.024	différence non significative
PD	.055	.055	différence non significative
LD	.115	.024	dominance très significative pour LFP
DT	.185	.039	dominance hautement significative pour LFP
F	.052	.024	différence non significative
P	.016	.039	différence non significative
LR	.138	.307	dominance hautement significative pour P18
A	.068	.024	différence non significative
D	.201	.118	dominance significative pour LFP
E	.005	.000	différence non significative
N	383	127	
	LFP	P17	
B	.057	.063	différence non significative
G	.010	.083	dominance hautement significative pour P17
T	.065	.032	différence non significative
Bc	.031	.016	différence non significative
PD	.055	.075	différence non significative
LD	.115	.213	dominance hautement significative pour P17
DT	.185	.051	dominance hautement significative pour LFP
F	.052	.095	dominance significative pour P17
P	.016	.055	dominance très significative pour P17
LR	.138	.257	dominance hautement significative pour P17
A	.068	.004	dominance hautement significative pour LFP
D	.201	.055	dominance hautement significative pour LFP
E	.005	.000	différence non significative
N	383	253	

F2 - Etude de la dynamique structurale.

Nous avons été amenés, devant la disparité des divers complexes tardigravettiens anciens, à rechercher des ressemblances d'un autre ordre. Les tableaux de dynamique structurale (Laplace 1974) établis sur les séries des Arene Candide et de Paglicci ont abouti à une constatation inattendue.

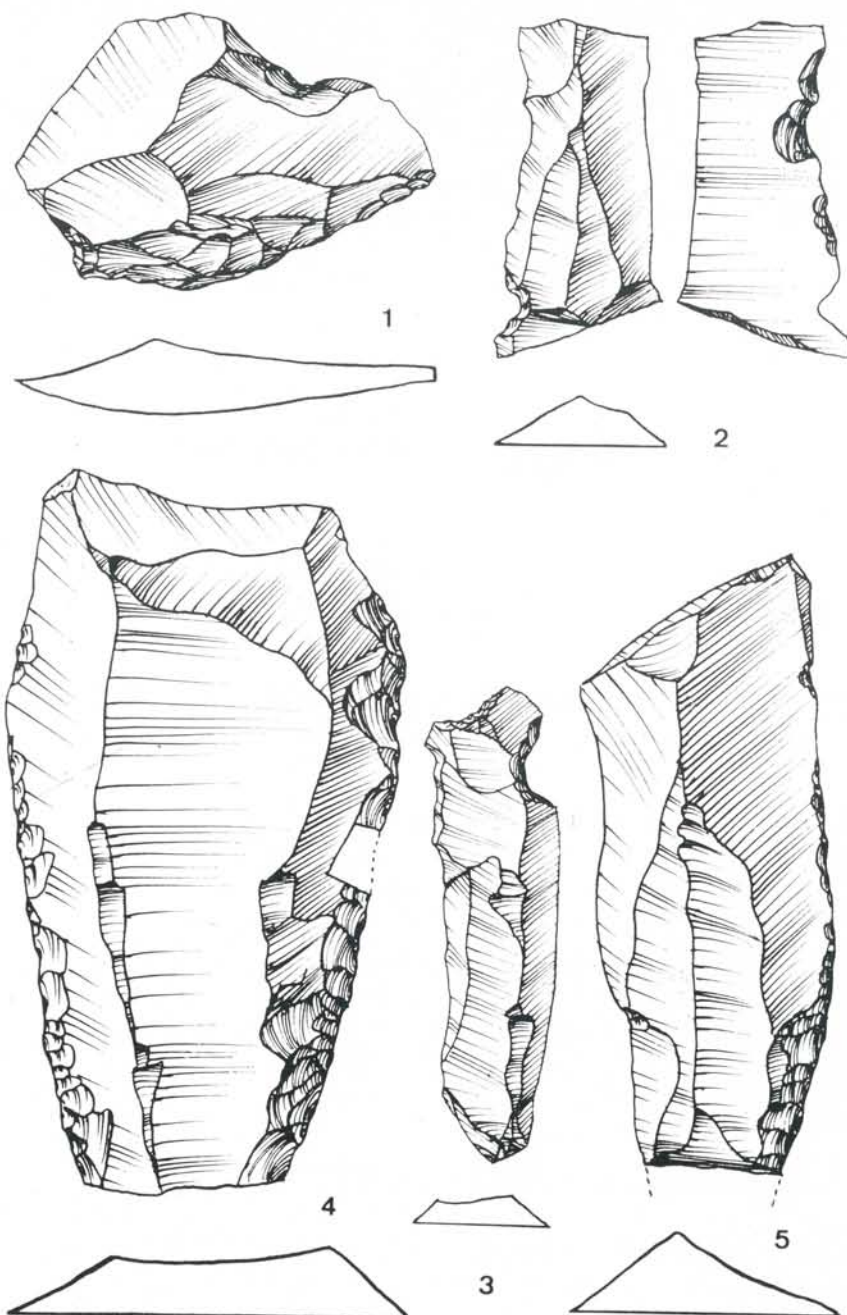


Fig. 13 - Denticulés: encoches (1 à 3); racloirs à retouche simple (4 et 5).

F21 - Dynamique structurale des complexes tradigravettiens anciens aux Arène Candide.

Pour les Ordres:

(p=fréquence théorique, A=amplitude, Ae=amplitude des extrêmes).

Foyers	5-4	4-3-III	4-3-II	4-3-I	3-1	p	A	Ae	Dynamique
A	.603	—	.694	—	.757	—	.772	+	.581
S	.346	—	.245	—	.189	—	.198	+	.302
B	.026	—	.048	—	.053	—	.030	+	.117
P	.013	.007	.000	.000	.000	.000	.000	.000	.003
SE	.013	.000	.000	.000	.000	.000	.001	.013	—.013
E	.000	.007	.000	.000	.000	.001	.007	.000	oscillation

Le tiret (—) indique l'inhomogénéité de la catégorie dans l'ensemble de toutes des couches.

La croix (+) marque l'inhomogénéité de la catégorie lorsqu'on teste deux couches successives dans les sens stratigraphique.

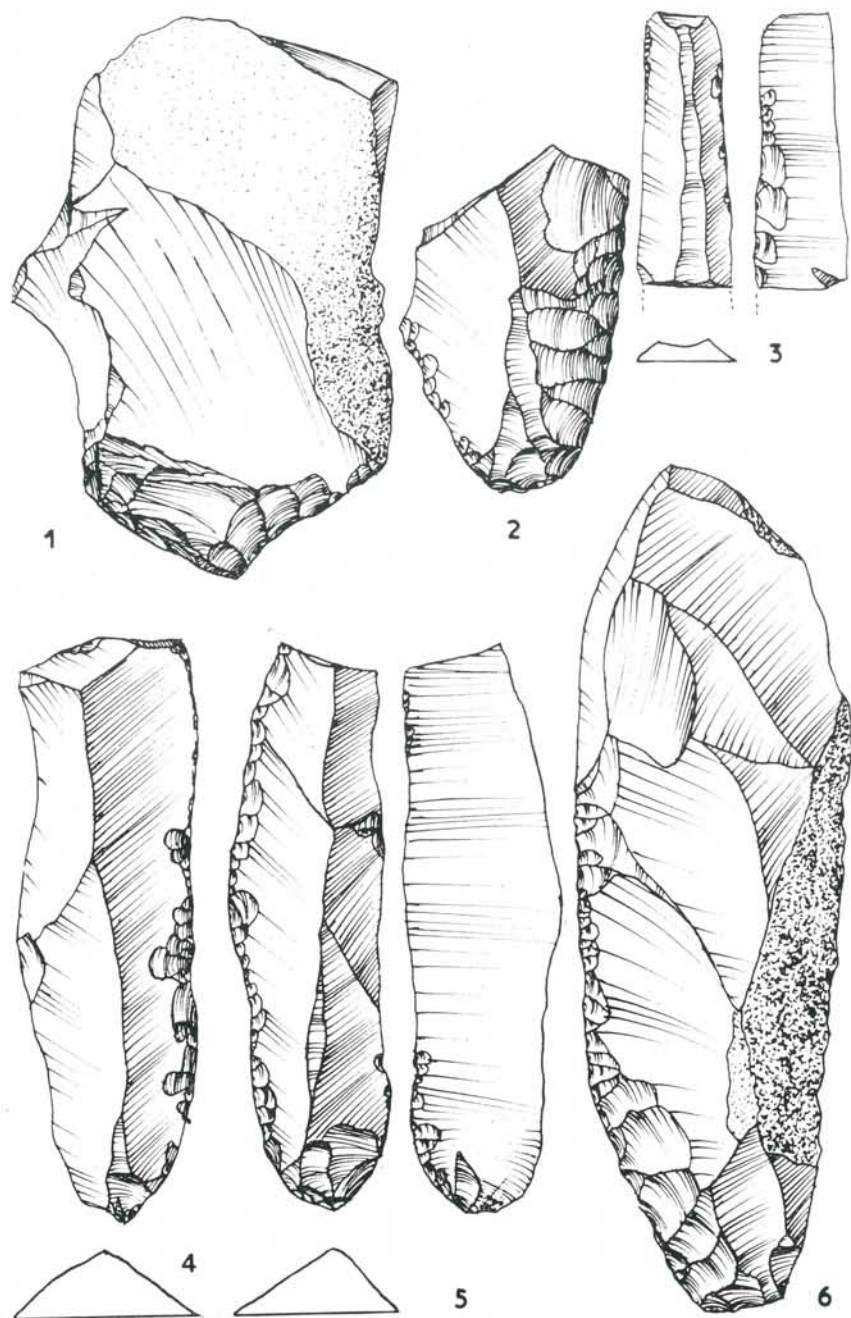


Fig. 14 - Racloirs à retouche plate.

Pour les Groupes Typologiques:

Foyers	5-4	4-3-III	4-3-II	4-3-I	3-1	p	A	Ae	Dynamique
LR	.714	.472	.563	.800	.552	.590	.328	—.162	oscillation dégressive
D	.107	—	.083	—	.219	—	.000	—	progression oscillante significative
P	.179	—	.361	—	.156	—	.150	—	oscillation dégressive significative
G	.000	.083	.063	.050	.090	.066	.090	+.090	progression
LD	.596	.529	+	.695	.718	.721	.661	.192	+.125
DT	.255	—	.303	+	.102	—	.179	+	progression oscillante
PD	.128	.157		.164	.064	+	.194	.151	dégression oscillante significative
T+A	.021	.010		.039	.038	.047	.033	.037	progression oscillante

F22 - Dynamique structurale des complexes tardigravettiens anciens à Paglicci.

	n17	n16	n15	n14	n13	n13-12.	p	A	Ae	Dynamique					
A	.391	+	.564	+	.442	—	.376	—	.422	—	.494	.446	.188	+.103	progression oscillante significative
S	.411	+	.276	—	.353	—	.467	—	.467	—	.367	.380	.191	—.044	oscillation dégressive significative
B	.063	—	.117	—	.178	—	.128	—	.078	—	.095	.116	.115	+.032	oscillation progressive significative
SE	.040	+	.037	—	.017	—	.030	—	.033	—	.044	.032	.073	+.004	oscillation progressive significative
P	.095	+	.006	—	.010	—	.000	—	.000	—	.000	.026	.095	—.095	dégression significative
E	.000	.000	.000	.000	.000	.000	.000	.000	.000	.000	.000				

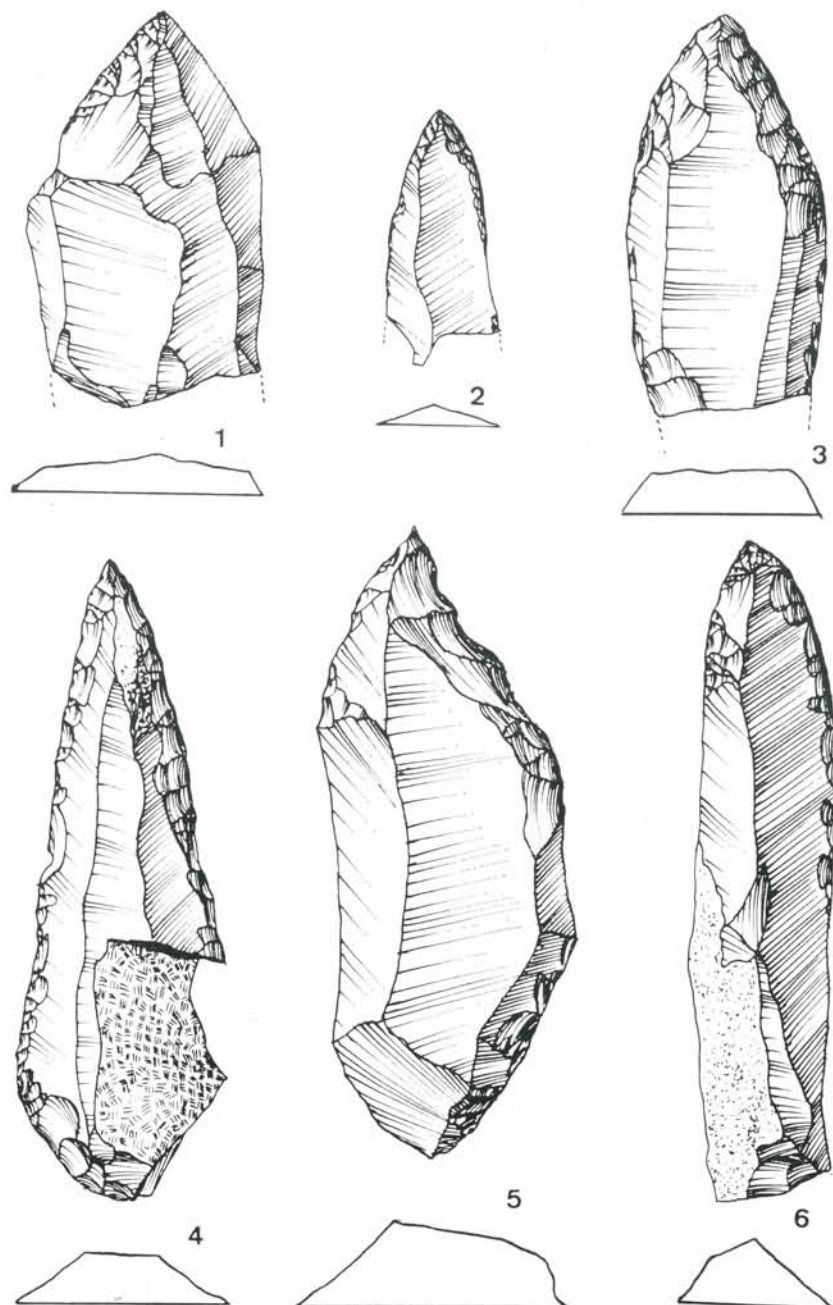


Fig. 15 - Pointes à retouche simple (3 à 5); pointes à retouche plate (1, 2 et 6).

	n17	n16	n15	n14	n13	n13-12.	p	A	Ae	Dynamique
LD	.545 —	.495 —	.372 —	.400 —	.500 —	.603 —	.480	.231	+.058	oscillation progressive significative
PD	.192 +	.418 —	.488 —	.340 —	.263 —	.231 —	.340	.296	+.039	oscillation progressive significative
T + Bc	.121	.044	.109	.160	.211	.115	.113	.167	—.006	oscillation dégressive
DT + Gm	.131 +	.022 —	.016 —	.100 —	.026 —	.051 —	.056	.115	—.080	dégression oscillante significative
A	.010	.022	.016	.000	.000	.000	.010	.022	—.010	oscillation dégressive
LR	.570	.480	.523	.364	.511	.508	.503	.090	—.062	dégression oscillante
G	.184	.320	.288	.394	.400	.277	.290	.216	+.093	oscillation progressive
D	.123	.060	.162	.167	.067	.185	.135	.125	+.062	oscillation progressive
P	.123 —	.140 +	.027 —	.076 —	.022 —	.031 —	.071	.118	—.092	dégression oscillante significative

Ces tableaux établis aux deux niveaux structuraux des modes et des groupes typologiques, montrent l'existence de familles sérielles (Livache 1974), c'est à dire d'ensembles industriels évolutifs découlant les uns des autres. En effet la rupture de la chaîne évolutive, dans l'exercice précédent, apparaît sous la forme du signe: + .

F22 - Forment donc des familles sérielles (f.s.):

F221 - à l'étage des modes.

F2211 - Aux Arene Candide:

f.s. F5-4, F4-3III, F4-3II, F4-3I.

Il y a rupture entre F4-3I et F3-I à cause de la progression significative des B, la dégression significative des A et la progression significative de S.

F2212 - A Paglicci:

f.s. n15, n14, n13, n13-12,

Il y a rupture entre n17 et n16 à cause des A, S, SE et P, ainsi qu'entre n16 et n15 à cause de la dégression significative des A.

F222 - à l'étage des groupes typologiques.

F2221 - Aux Arene Candide:

f.s. F5-4, F4-3111, F4-311, F4-31, F3-1,

pour les groupes typologiques à retouche Simple.

f.s. F5-4, F4-3111, puis F4-311, F4-31,

pour les groupes à retouche Abrupte.

La rupture entre F4-3III et F4-3II est créée par la progression significative des LD et la dégression significative des DT. Entre F4-3I et F3-I c'est la progression significative des PD et la dégression significative des DT.

Le bloc homogène est celui des groupes typologiques à retouche Simple, le bloc évoluant est celui des groupes typologiques à retouche Abrupte.

F2222 - A Paglicci:

f.s. n16, n15, n14, n13, n13-12,

pour les groupes typologiques à retouche Abrupte.

Il y a rupture entre n17 et n16 à cause de la progression significative des PD et la régression significative des DT + Gm.

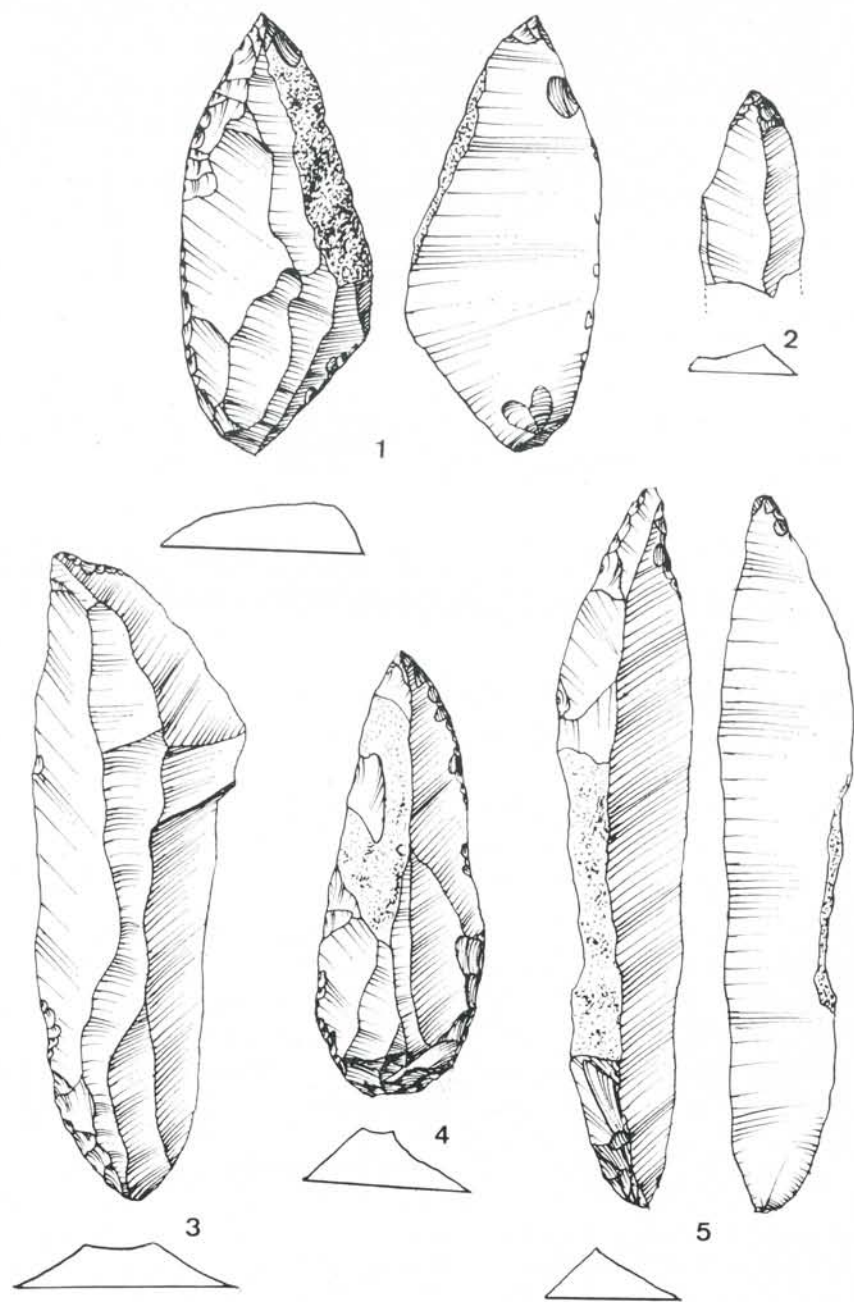


Fig. 16 - Pointes à retouche simple (1 et 5); pointes à retouche plate (2 et 4); lame-racloir et encoches (3).

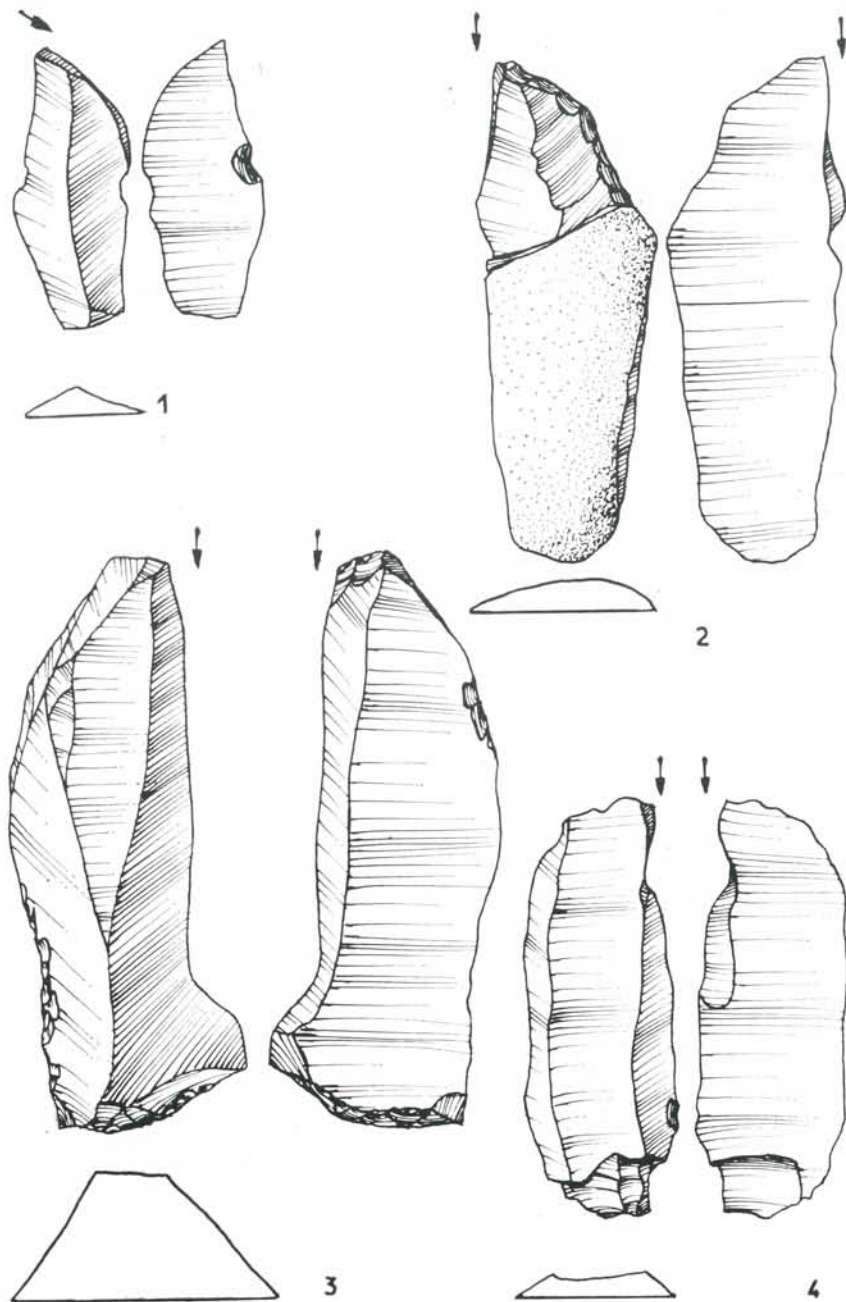


Fig. 17 - Burins.

f.s. n17, n16, puis n15, n14, n13, n13-12,
pour les groupes typologiques à retouche Simple.

Il y a rupture entre n16 et n15 à cause de la régression significative des P.

A Paglicci l'évolution est assez progressive, il n'y a que 3 cas de rupture (donc d'accélération de l'évolution) entre les groupes typologiques sur 45 éventualités.

F23 - L'homodynamisme.

Si nous résumons dans un tableau ces évolutions du Tardigravettien ancien nous obtenons:

	<i>Arene Candide</i>	<i>Paglicci</i>
G	Progression	Oscillation progressive
P	Oscillation dégressive	Dégression oscillante
LR	Oscillation dégressive	Dégression oscillante
D	Progression oscillante	Oscillation progressive
TA	Progression oscillante	Oscillation dégressive
PD	Progression oscillante	Oscillation progressive
LD	Progression oscillante	Oscillation progressive
DT	Dégression oscillante	Dégression oscillante
B	Progression	Oscillation progressive
F	Dégression	Dégressive

Si on excepte le groupe typologique des troncatures + Abrupts on note que les mouvements des complexes à Paglicci et aux Arene Candide évoluent dans le même sens, ils son *homodynamiques*.

F24 - La dynamique du Tardigravettien ancien dans le Vaucluse

	<i>La Font Pourquiére</i>	<i>Chinchon n° 1 niveau C</i>	<i>Dynamique</i>
G	.010	.037	progression
P	.015	.028	progression
LR	.138	.046	dégression
D	.201	.042	dégression
T	.065	.051	dégression
PD	.055	.124	progression
LD	.155	.470	progression
DT	.185	.124	dégression
B	.057	.097	progression
F	.052	.014	dégression
N	.383	.217	dégression

Nous ne cherchons pas ici la valeur statistique de cette évolution. Si nous gardons le sens général de ce tableau, nous constatons que les groupes typologiques: G, LR, PD, LD, DT, B et F évoluent de la même manière que dans les complexes italiques.

G - CONCLUSIONS

Par les analyses comparées nous sommes parvenus à évaluer les divers complexes réunis sous le concept de Tardigravettien ancien. Nous avons constaté leur variété, ils sont issus de familles sérielles différentes. Leur nombre restreint et leur répartition géographique étendue pouvait laisser prévoir ce résultat. Le gisement de La Font Pourquière et celui de Chinchon n° 1 niveau C sont les indices tardigravettiens anciens les plus occidentaux connus à ce jour. Les stratigraphies italiques ont montré la contemporanéité du Tardigravettien ancien à pointes à face plane et du Solutréen dont la province commence à l'Ouest du Rhône tout proche. Le Tardigravettien ancien à crans, daté du Dryas I à Chinchon, est lui contemporain du Salpétrien (qui est en fait un tardisolutrénien) (Escalon 1966-Gallet 1973) de l'Ouest du Rhône ou du Magdalénien ancien de l'Ouest de la France.

OUVRAGES CITES

- CARDINI L.: 1947 - *Gli strati paleolitici delle Arene Candide*. Rivista di Studi Liguri, anno XII.
- ESCALON DE FONTON M.: 1959 - *Quelques civilisations méditerranéennes du Paléolithique supérieur au Mésolithique*. Mémoires S.P.F. tome 5, pp. 118-134, 9 fig., 1958.
- —: 1966 - *Du Paléolithique supérieur au Mésolithique dans le midi méditerranéen*. Bul. S.P.F. tome LXIII, fasc. 1, pp. 66-180, 73 fig., 10 pl., 1 tabl.
- —: 1973 - *La question des différents faciès de l'Azilien et du Romanellien*. Estudos dedicados al Professor Dr. Luis Pericot. Universidad de Barcelona, Instituto de Archeología y Prehistoria, pp. 86-100.
- GALLET M.: 1973 - *Les pièces à cran de la Rouvière, gisement du Paléolithique supérieur du Vallon*. Etudes Préhistoriques n° 5, juin 1973, pp. 8-14, 5 gf.
- LAPLACE G.: 1957 - *Typologie analytique. Application d'une nouvelle méthode d'étude des formes et des structures aux industries à lames et lamelles*. Quaternaria IV, pp. 133-164, 7 fig.
- —: 1964 a - *Essai de typologie systématique*. Annali dell'Università di Ferrara. Nuova serie, sezione XV, Paleontologia Umana e Paletnologia, I, Supplemento II, 86 p., 8 fig.
- —: 1964 b - *Les subdivisions du Leptolithique italien. Etude de typologie analytique*. Bulletin di Paletnologia Italiana. Nuova serie XV, vol. 73, pp. 25-63.
- —: 1966 - *Recherches sur l'origine et l'évolution des complexes Leptolithiques*. Ecole Française de Rome, Mélanges d'Archéologie et d'Histoire, supplément 4, XII-586 p., 39 fig., XXIV tabl. et 25 pl. hors texte. De Boccard, Paris.
- —: 1968 - *Recherches de Typologie Analytique 1968*. Origini II, Roma pp. 7-64.
- —: 1971 - *De l'application des coordonnées cartésiennes à la fouille stratigraphique*. Munibe, vol. XXIII, n° 2-3, pp. 223-236.
- —: 1973 - *La typologie analytique et structurale: base rationnelle d'étude des industries lithiques et osseuses*. Banques de données en archéologie, actes du Colloque National du CNRS, Marseille 1972, CNRS Paris, pp. 91-143, 30 fig.
- —: 1974 - *De la dynamique de l'analyse structurale ou la typologie analytique*. Rivista di Scienze Preistoriche, vol. XXIX, fasc. 1, pp. 3-71.
- LAPLACE G. - LIVACHE M.: 1975 - *Quelques précisions sur la démarche de l'analyse de la dynamique structurale*. Dialetktikè, Cahiers de Typologie Analytique - 1975.
- LIVACHE M.: 1974 - *Les familles sérielles de complexes industriels et leurs homomorphies en Typologie Analytique*. Dialetktikè, Cahiers de Typologie Analytique - 1974 - pp. 15-22.
- MEZZENA F.-PALMA DI CESNOLA A.: 1967 - *L'Epigravettiano della grotta Paglicci nel Gargano*, Rivista di Scienze Preistoriche, vol. XXII, fasc. I, pp. 23-156, 37 fig., 11 tab.

- ONORATINI G.: 1974 - *Une lignée du Périgordien supérieur du S-E de la France dans son cadre sédimento-climatique*. Thèse de 3^e cycle, Université d'Aix-Marseille I, UER de Sciences Naturelles, Université d'Aix-Marseille II, UER des Sciences de la Mer et de l'Environnement.
- PACCARD M.: 1961 - *L'abri Soubeyras (commune de Ménerbes-Vaucluse)*. Cahiers Ligures de Préhistoire et d'Archéologie, n° 10, pp. 3-20.
- PACCARD M.: 1963 - *Le gisement préhistorique de Roquefure (commune de Bonnieux-Vaucluse)*. Cahiers Rhodaniens, n° XI, pp. 3-36, 19 fig.
- —: 1964 - *La grotte de Combe-Buisson (commune de Lacoste-Vaucluse)*. Cahiers Ligures de Préhistoire et d'Archéologie, n° 13, tome 1, pp. 3-67, 36 fig.
- —: 1964 - *Labri n° 1 de Chinchon (commune de Saumane de Vaucluse)*. Cahiers Ligures de Préhistoire et d'Archéologie, n° 13, tome 1, pp. 3-67, 36 fig.
- PALMA DI CESNOLA A.: 1975 - *Il Gravettiano della Grotta Paglicci nel Gargano. I. L'industria litica e la cronologia assoluta*. Rivista di Scienze Preistoriche, vol. XXX, fasc. 1-2, pp. 3-177.

RIASSUNTO

Il giacimento all'aperto de La Font Pourquiére (comune di Lacoste in Vaucluse) ha fornito un'industria litica del Tardigravettiano antico. Vi si nota l'associazione caratteristica di punte a dorso rettilineo (gravettes), lamelle a dorso troncate e punte a faccia piana. L'analisi strutturale utilizza il criterio di contingenza per sottolineare le discontinuità nelle sequenze strutturali. Le tavole di analisi strutturale comparata permettono di definire con esattezza le somiglianze e differenze del giacimento della Vaucluse con i complessi italiani delle Arene Candide e di Paglicci. L'autore nota l'omodinamismo evolutivo di questi ultimi due giacimenti malgrado la loro diversità strutturale.

La Font Pourquiére e l'Abri n° 1 di Chinchon a Saumane de Vaucluse sono i siti tardigravettiani antichi più ad occidente tra quelli fino ad oggi conosciuti. Ad Ovest del vicino Rodano, comincia la provincia occupata dal Solutreano, probabilmente contemporaneo alla fase del tardigravettiano con punte a faccia piana.

SUMMARY

The open air deposit at La Font Pourquiére (district of Lacoste in Vaucluse) has provided a lithic industry belonging to the early Tardigravettian. This industry shows the typical association of straight backed points (*gravettes*), truncated backed bladelets and flat-faced points. The structural analysis utilizes the contingency norm in order to underline the discontinuity in the structural sequences. The tables of comparative structural analysis make possible a correct definition of similarities and differences between the deposit at Vaucluse and the Italian complexes from Arene Candide and Paglicci. The A. points out the evolutive omodynamisme of the two latter deposits in spite of their structural diversity.

La Font Pourquiére and the Abri N° 1 of Chinchon at Saumane of Vaucluse are the most western tardigravettian sites among those so far known. West of the neighbouring Rhône begins the area covered by the Solutrean which is probably synchronous to the phase of the Tardigravettian with flat-faced points.